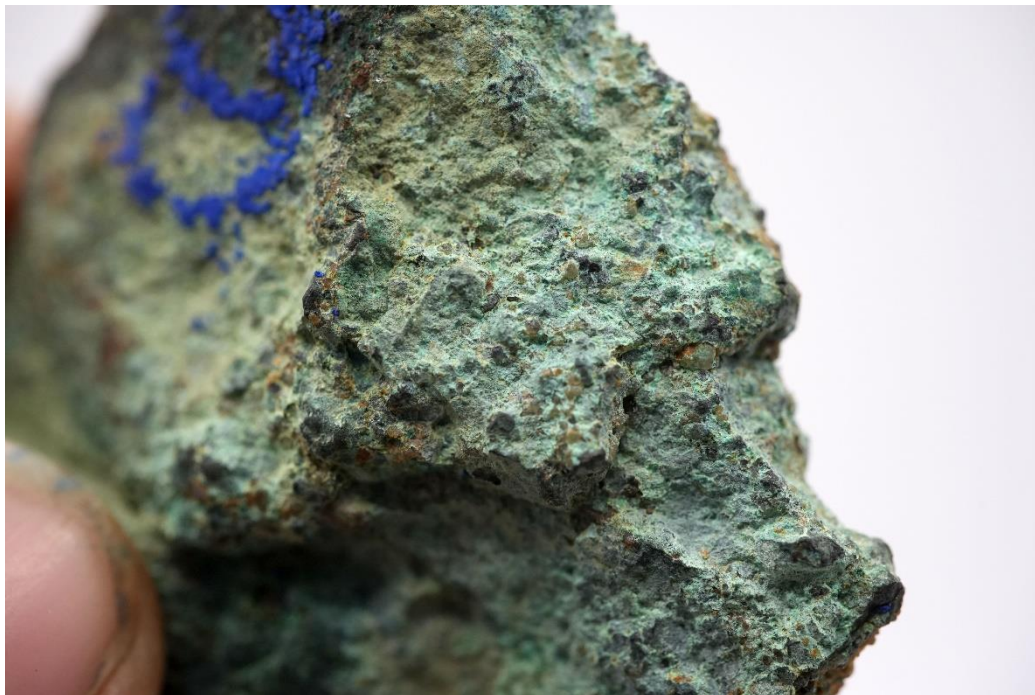


KOMUNIKAT Z 9 LISTOPADA 2022 R.

## BARDZO ZACHĘCAJĄCE WYNIKI WSTĘPNEJ WIZYTY BADAWCZEJ W OBSZARZE PROJEKTU ARC

- W obszarze Discovery Zone Projektu ARC znajdującym się w strefie uskoków Black Earth stwierdzone zostały siarczki miedzi o wysokim stopniu mineralizacji
- Najlepiej zmineralizowana próbka in situ o zawartości 53,8% miedzi i 1074 g/t srebra została pobrana z miejsca wzdłuż biegu żył, które już w ramach historycznych badań zostało wskazane jako obiecujące na podstawie próbki o zawartości 53,8% Cu z 2480 g/t Ag
- Dalej wzdłuż biegu żył w kierunku zachodnim stwierdzono dobrze odsłoniętą strefę, wizualnie szacowaną na około 5 m szerokości, z której analiza pXRF dała medianę na poziomie 4,47% Cu i 91 g/t Ag, potwierdzając tym samym historyczne wyniki wynoszące 4,42% Cu i 187,5 g/t Ag uzyskane z próbek pobranych w wykopie o długości 3 m
- Występowanie mineralizacji zostało również stwierdzone w piaskowcach otaczających strefę Black Earth, obficie poprzątkanych żyłami i żyłkami chalkozynu
- W Neergaard Dal występuje „szczelina” o wysokim stopniu mineralizacji zawierająca widoczną miedź rodzimą
- Badanie terenowe potwierdziło możliwość założenia bazy logistycznej na Grenlandii, która pozwoli przyspieszyć prowadzenie programów eksploracyjnych w przyszłości

Spółka GreenX Metals Ltd (**GreenX** lub **Spółka**) oraz jej partner w ramach joint venture (**JV**) Greenfields Exploration Ltd (**Greenfields**) z przyjemnością ogłaszają wyniki pierwszej terenowej wizyty badawczej w ramach Projektu Arctic Rift Copper (**ARC**) na Grenlandii. Wyniki badań wskazują na wysoki poziom odkrytej już wcześniej mineralizacji siarczku miedzi (rys. 1) oraz szerszą mineralizację miedzi w strefach uskoków Black Earth i przyległych do nich obszarów piaskowca. Zweryfikowana również została dokładna lokalizacja występowania szczelinowej miedzi rodzimej na objętym poszukiwaniami obszarze Neergaard Dal. Nowo uzyskane informacje mają kluczowe znaczenie dla przyszłego ukierunkowania prac pod kątem miedzi związanej z warstwami obu typów skał.



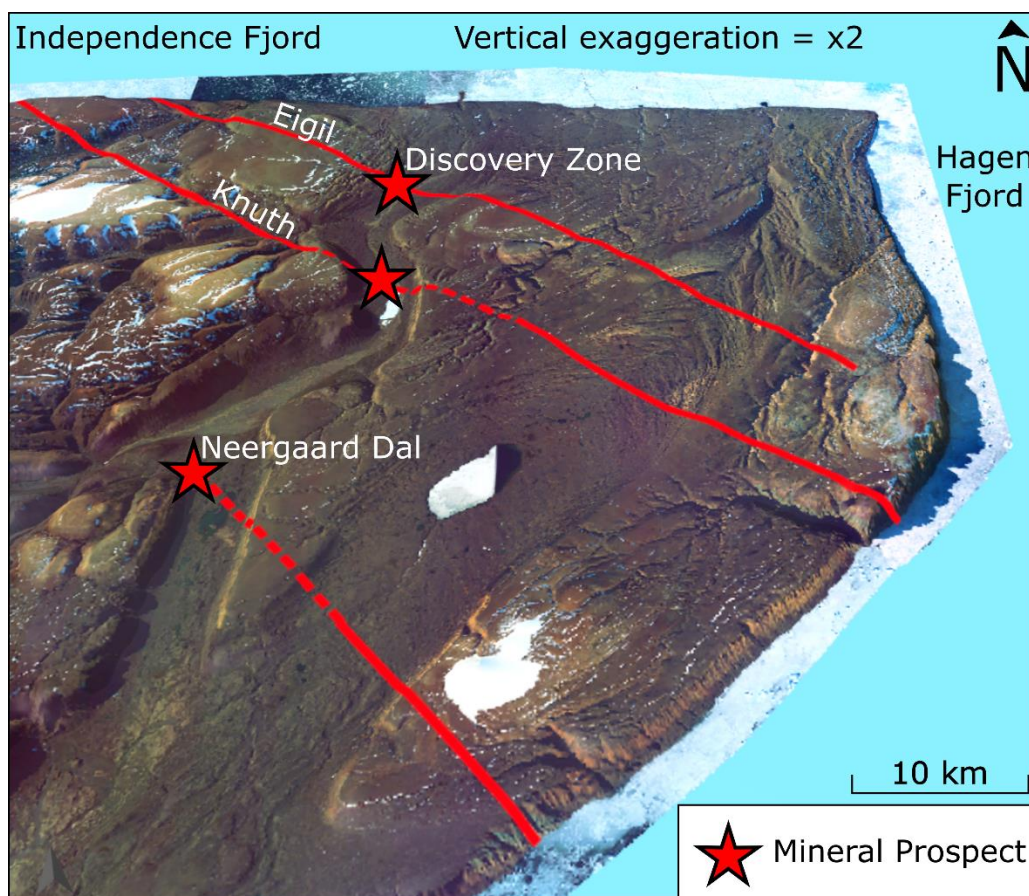
Rys. 1: Chalkozyn pokryty tlenkiem miedzi w piaskowcu z próbki A1199b z obszaru Discovery Zone. Próbką została pobrana z lokalizacji 81° 57' 18,58", -26° 12' 0,86".

Zespół realizujący badanie terenowe zrealizował wizyty w obszarach poszukiwawczych Discovery Zone i Neergaard Dal w północnej części Projektu ARC (rys. 2 i 3).

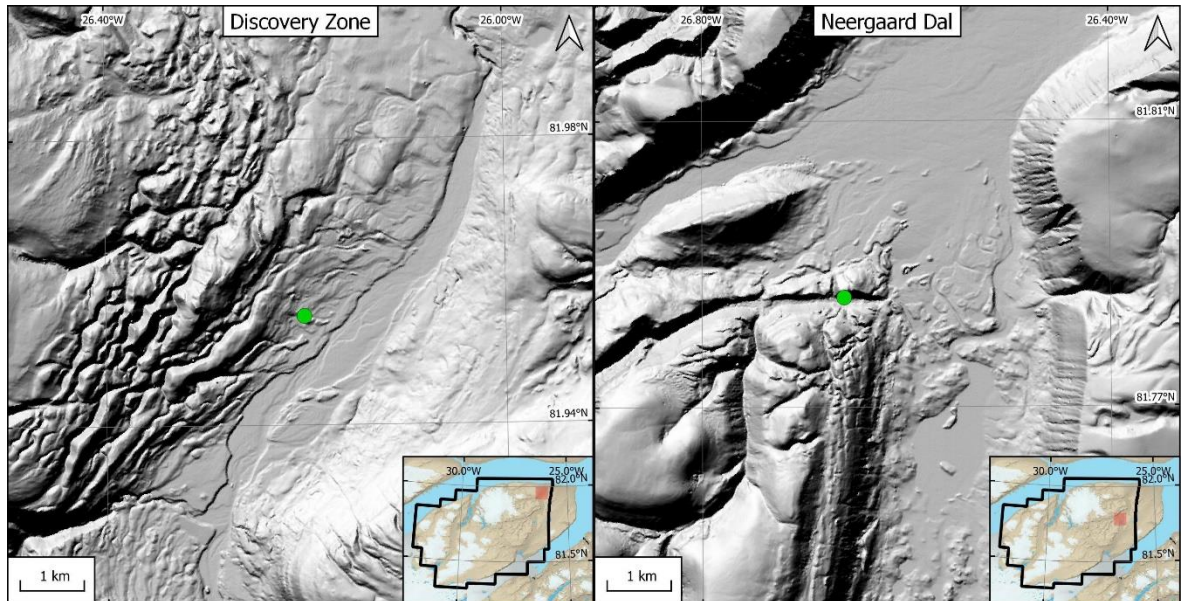
W próbce o **największej zawartości miedzi** pobranej w Discovery Zone **stwierdzono 53,8% Cu wraz z 1074 g/t Ag**, przy czym średnia wartość dla wszystkich próbek z tego obszaru wyniosła 39,3% Cu i 1065 g/t Ag (zob. Załącznik 1). Inne próbki z Discovery Zone wykazały 12,09% Cu i 373 g/t Ag, przy czym mediana niektórych z nich wyniosła 5,82% Cu i 448 g/t Ag.

Jednym z celów badania terenowego była weryfikacja historycznych wyników badań przeprowadzonych na obszarze Discovery Zone z uwagi na bardzo wysokie zarejestrowane ówczesznie wartości mineralizacji. Lokalizacja zasobów o wysokim stopniu mineralizacji była widoczna z ponad 150 m wysokości oraz z poziomu gruntu. Odnalezienie obszaru mineralizacji miedzi rodzimej w Neergaard Dal było również łatwe. W ramach badań historycznych stwierdzone zostało występowanie miedzi szczelinowej, ponieważ jednak odkrycie to zostało dokonane w czasach, gdy technologia GPS jeszcze nie istniała, dokładna lokalizacja tego miejsca była nieznana. Szybko zidentyfikowana została jednak przez badaczy dobrze zmineralizowana szczelina, co dobrze wróży na przyszłość potencjalnym odkrywcóm kolejnych szczelin na tym samym obszarze i poza nim. Odczyty z przenośnego urządzenia XRF (pXRF) zostały zarejestrowane w odniesieniu do pobranych próbek. Wyniki te zostały podsumowane poniżej i przedstawione szczegółowo w załączniku 1.

**Dr Jonathan Bell, kierownik projektu,** stwierdził: – Historycznie stwierdzone siarczki miedzi i miedź szczelinowa o wysokim stopniu mineralizacji zostały stosunkowo łatwo zlokalizowane podczas wizyty terenowej. Badacze bez większego kłopotu zlokalizowali optycznie oba obszary już w trakcie pierwszego przelotu nad tymi miejscami. Łatwość, z jaką historycznie opisywana mineralizacja została zidentyfikowana w terenie, dobrze wróży przyszłym wysiłkom zespołów poszukiwawczych, których zadaniem będzie zlokalizowanie i zmapowanie mineralizacji warstwowej o wysokim potencjale tonażowym.



Rys. 2: Naniesione zdjęcia satelitarne na cyfrowy model terenu. Ortogonalny widok w kierunku północnym, w dół Doliny Neergaard. Nowe interpretacje strukturalne wskazujące na zidentyfikowane uskoki odwrócone i stwierdzone mineralizacje w obszarze Discovery Zone, Neergaard Dal i Uskoku Knutha.



Rys. 3: Przybliżona lokalizacja badania terenowego w obszarach Discovery Zone i Neergaard Dal



Rys. 4: Zabarwienie malachitowe po chalkozynie, Discovery Zone

Uwaga: Próbkę ta została pobrana blisko obszaru Black Earth w obrębie Discovery Zone. Mimo iż nie można jej uznać za próbkę in situ, można przyjąć, że pochodzi z pobliskiego źródła. Zdjęcie zostało wykonane w lokalizacji o następujących przybliżonych koordynatach: około 81° 57' 20,7780", -26° 12' 2,2800".

## DISCOVERY ZONE

Próbki zostały pobrane z obszaru uskoku „Black Earth” w obrębie Discovery Zone oraz z mineralizacji piaskowca. Historyczne próbki pobrane na tym obszarze wykazały rzeczywistą szerokość 4,5 m, 2,15% Cu, 35,5 g/t Ag (zob. komunikat prasowy Spółki z 6 października 2021 r.). Dominującym minerałem miedziowym jest chalkozyn, występujący w postaci licznych cienkich żył, które niekiedy wytwarzają łatwe do wizualnego stwierdzenia zielone tlenki, np. malachit. Wydaje się, że główny kierunek mineralizacji jest ograniczony podpionowym uskokiem piaskowca, tworzącym wydatny około 2-metrowy występ (5). Ponieważ zmineralizowany uskok cechuje się większą miękkością od piaskowca, jego relief jest ujemny, a przy tym miejscami jest on powierzchniowo przesłonięty.



Rys. 5: Uskok w obrębie Discovery Zone z wysokiego stopnia mineralizacją w obszarze Black Earth

Uwaga: Materiał z obszaru Black Earth o intensywnej mineralizacji znajduje się na pierwszym planie w prawym dolnym rogu zdjęcia. W tej lokalizacji odsłonięta mineralizacja miała około 5 m szerokości pozornej. Obiektyw aparatu skierowany jest w przybliżeniu w kierunku północno-wschodnim. Zdjęcie zostało wykonane w lokalizacji 81° 57' 19,2180", -26° 12' 8,1660". Próbkę A1197 i A1198 zostały pobrane z miejsca znajdującego się na pierwszym planie.

Materiał z obszaru Black Earth składa się z wielu różnych rodzajów skał, w tym skał drobnoziarnistych. Wydaje się, że występują tu co najmniej cztery subtelnie różniące się między sobą piaskowce i mułowce oraz fragmenty bardzo gęstego, niemal kompletnego chalkozynu<sup>1</sup>. Ten gęsty materiał ma prawie ten sam skład co historycznie raportowane 53,8% miedzi („Cu”) i 2480 srebra („Ag”). Do przeprowadzenia wielokrotnych skanów **próbki A1199a użyte zostało podręczne urządzenie XRF. Szczytowy odczyt otrzymanych wyników wyniósł 53,8% Cu przy 1074 g/t Ag<sup>2</sup>**, zaś średni odczyt wyniósł 39,3% Cu i 1065 g/t Ag (6). Ta próbka o wysokim stopniu mineralizacji została pobrana z lokalizacji znajdującej się 35 m wzdłuż biegu żył, na zachód od miejsca, w którym pobrana była historyczna próbka o podobnym składzie. Spółka zwraca uwagę, że odczyty pXRF mają charakter orientacyjny, a nie bezwzględny. Niewykluczone, że utlenienie i zanieczyszczenie powierzchni skutkowało niższymi odczytami od możliwych do uzyskania z sedna próbki A1199a. Kształt próbki A1199a sugeruje pewną tabelaryczność, podobną do próbki historycznej o ekstremalnych wskazaniach. Tabelaryczność ta może wynikać z występowania żyły, podobnie jak drobnoziarniste żyłki chalkozynu widoczne na całym obszarze lub warstwa w obrębie horyzontu osadowego. Warto zauważyć, że inny materiał z obszaru Black Earth, w którym stwierdzono ten wysokiej jakości materiał, jest również zmineralizowany, podobnie jak otaczający go piaskowiec. Mediana odczytu XRF sześciu fragmentów (A1199a do A1199f) wynosi 12,09% Cu i 373 g/t Ag, a mediana wszystkich 49 odczytów z obszaru Black Earth (w tym A1197a-d i A1198a-d) wynosi 5,48% Cu i 89 g/t Ag. Interesujące są próbki o numerach 1197 i 1198, ponieważ pochodzą one z obszaru wyraźnego odsłonięcia Black Earth o szerokości pozornej wynoszącej około 5 m<sup>3</sup>.

<sup>1</sup> Chalkozyn: minerał zawierający 66,7% miedzi objętościowo lub 80% miedzi wagowo. Uwzględniając gęstość i zawartość miedzi w chalkozynie, piaskowiec potrzebuje jedynie 1-2% objętości skały, by teoretycznie cechować się mineralizacją w przedziale od 1,7% do 3,4% Cu.

<sup>2</sup> Szczytowy odczyt pXRF wyniósł 56,6% Cu i 1,371 g/t Ag, jednak badacze wizualnie ocenili, że cała ta próbka ma niższą mineralizację od A1199a.

<sup>3</sup> Rzeczywista szerokość jest mniejsza od szerokości pozornej. Od równoległego uskoku zlokalizowanego w odległości 390 m na południe, rzeczywista szerokość wynosząca 5,25 m przekładała się na szerokość powierzchniową 4,5 m, przy czym mineralizacja wyniosła 2,15% i 35,5 g/t Ag (zob. komunikat prasowy Spółki z 6 października 2021 r.).



Rys. 6: Klaster czystego chalkozynu pobrany z obszaru Black Earth.

Uwaga: Ta bardzo gęsta próbka wykazuje jedynie umiarkowane zmiany powierzchniowe, w związku z czym można domniemywać, że składa się głównie z chalkozynu. Próbka została pobrana z lokalizacji 81° 57' 18,6000", -26° 12' 08,8940".

Oprócz analizy największych klastrow z próbek pobranych na obszarze Black Earth, które zostały umyte i oczyszczone, odczyty XRF zostały pobrane bezpośrednio z materiału znajdującego się w worku na próbki. Wizualnie materiał ten jest zdominowany przez luźne, pojedyncze ziarna kwarcu i szarą glinę (7). Badacze spodziewali się, że w tym przypadku bardzo niskich odczytów zawartości miedzi i srebra. Niemniej jednak siedem odczytów XRF z próbki A1199a wskazuje, że **drobnoziarnisty materiał cechuje się średnią zawartością 5,82% Cu i 448 g/t Ag**. Ponieważ ten drobnoziarnisty materiał pokrywa wszystkie większe ziarna, Spółka wnioskuje, że w glinach znajduje się chalkozyn. **Podobnie, mediana odczytów XRF z całości materiału drobnoziarnistego (nie tylko bogatego w glinę) wynosi 4,86% Cu i 124,5 g/t Ag**. Jest to o tyle istotne, że oznacza, iż znaczna mineralizacja występuje we wszystkich frakcjach o widocznej wielkości, co może zmniejszyć „efekt samorodków” klastrow z obszaru Black Earth. Spółka będzie prowadzić dalsze analizy pod kątem oceny rozkładu miedzi i srebra w poszczególnych frakcjach materiału z obszaru Black Earth.



Rys. 7: Drobnoziarnisty, ale dobrze zmineralizowany materiał z obszaru Black Earth

Uwaga: Ziarno kwarcu i materiał bogaty w glinę, najlepiej widoczny po prawej stronie worka na próbki, zawiera ziarna kwarcu, gliny i ewidentnie minerały zawierające miedź. Zajęcie zostało wykonane w lokalizacji 81° 57' 18,6000", -26° 12' 0,8940".

Zmineralizowany jest również piaskowiec otaczający uskoki z obszaru Black Earth. Próbki z tego materiału wykazują żyły i żyłki chalkozynu, które wiodą do wyraźnych plam malachitowych. W niektórych przypadkach żyły mają grubość kilku milimetrów (8), natomiast często są cieńsze i bardziej zagęszczone w materiale skalnym (9). Fakt ten rozszerza przestrzeń poszukiwań mineralizacji miedzi poza bezpośredni obszar strefy uskokowej.

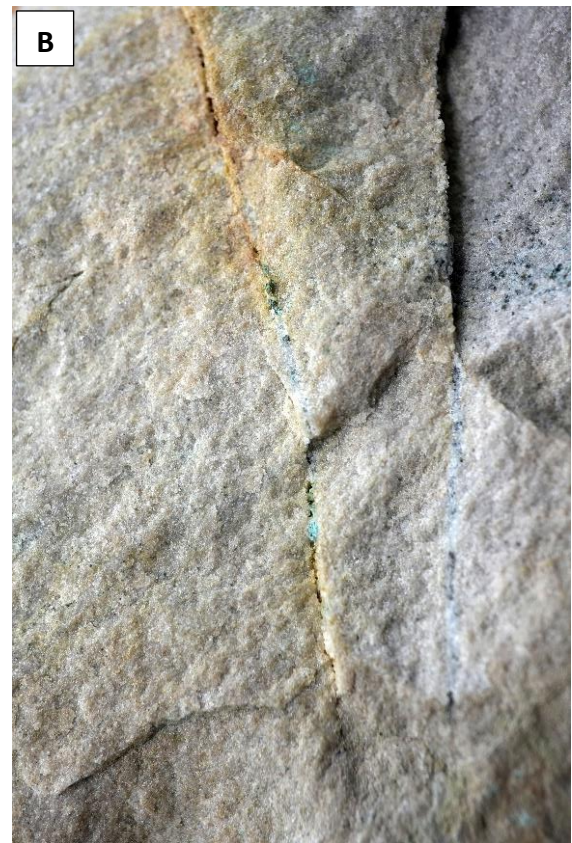


Rys. 8: Żyła chalkozynu osadzona w piaskowcu z próbki A1197d.

Uwaga: Żyła chalkozynu to ciemny materiał na górnej powierzchni obiektu na tym zdjęciu. Mediana odczytów XRF wszystkich powierzchni próbki A1197d wynosi 9,55% Cu i 309 g/t Ag. Próbkę została pobrana z lokalizacji 81° 57' 18,9960", -26° 12' 5,7180".



Rys. 92a: Wyraźne zabarwienie malachitu na piaskowcu z drobnymi żyłkami chalkozynu.



Rys. 9b: Wyraźne zabarwienie malachitu na piaskowcu z drobnymi żyłkami chalkozynu.

*Uwaga: Mediana 17 odczytów XRF z różnych powierzchni tej próbki wynosi 15,7% Cu i 800 g/t Ag w polu widzenia. Próbka została pobrana z lokalizacji 81° 57' 21,0180", -26° 12' 2,5380".*

*Uwaga: Spodnia strona zabarwionej na zielono powierzchni próbki A1215, pokazanej po prawej stronie, zawiera delikatne żyły chalkozynu, co świadczy o tym, że płyny mineralizujące przedostały się obficie z uskoku do skały ciągłej.*

## NEERGAARD DAL

Szczelina zbadana przez Spółkę w Neergaard Dal jest jedną z kilku szczelin wskazanych do analizy na tym obszarze. Badacze szacują, że szczelina ma około 20 m grubości i przebiega wzdłuż kierunku północ-południe (rys. 10). W zachodniej połowie szczelina jest silnie zmineralizowana miedzią rodzimą i kuprytem. Badany obszar odsłania również część skał mogących odpowiadać strefie Red Marker [czerwony znacznik] (historycznie zwanej Red Flow [czerwony przepływ]). Ze szkicu z 1979 r. wynika, że szczelina rozciąga się pionowo od pozycji stratygraficznej powyżej Red Marker, topograficznie wyżej niż zostało to stwierdzone przez Spółkę (rys. 11 i 12). Na powierzchni<sup>4</sup> daje to rozpiętość szczeliny wynoszącej ponad 200 m w pionie i bieg żył wynoszący ponad 600 m. Porównując położenie Red Marker, Spółka identyfikuje również warstwowe „komory gazowe zawierające miedź” odsłonięte na południowym zboczu tej samej doliny. Taka „pęcherzykowa” mineralizacja warstwowa zawierała znaczne ilości miedzi w innych regionach, np. w Keweenaw w Stanach Zjednoczonych. Ewentualność ta zostanie zwyfikowana w trybie priorytetowym w przyszłych badawczych programach terenowych.

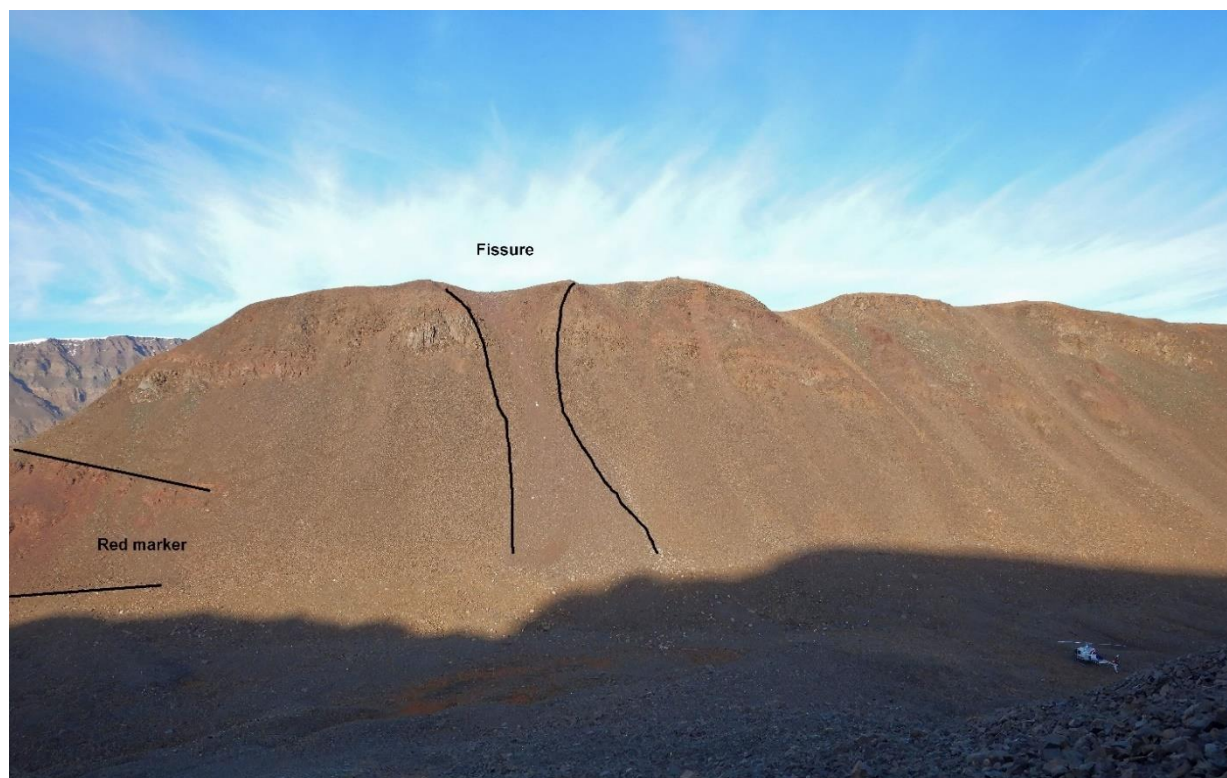


Rys. 10: Szczelina miedzionośna w Neergaard Dal

*Uwaga: Szerokość pozorna szczeliny wynosi około 20 m, a mineralizacja miedzi wydaje się znajdować w zachodniej połowie szczeliny. Obiektów aparatu skierowany jest w kierunku północno-północnozachodnim. Zdjęcie zostało wykonane w lokalizacji 81° 47' 4,776", -26° 39' 29,3760".*

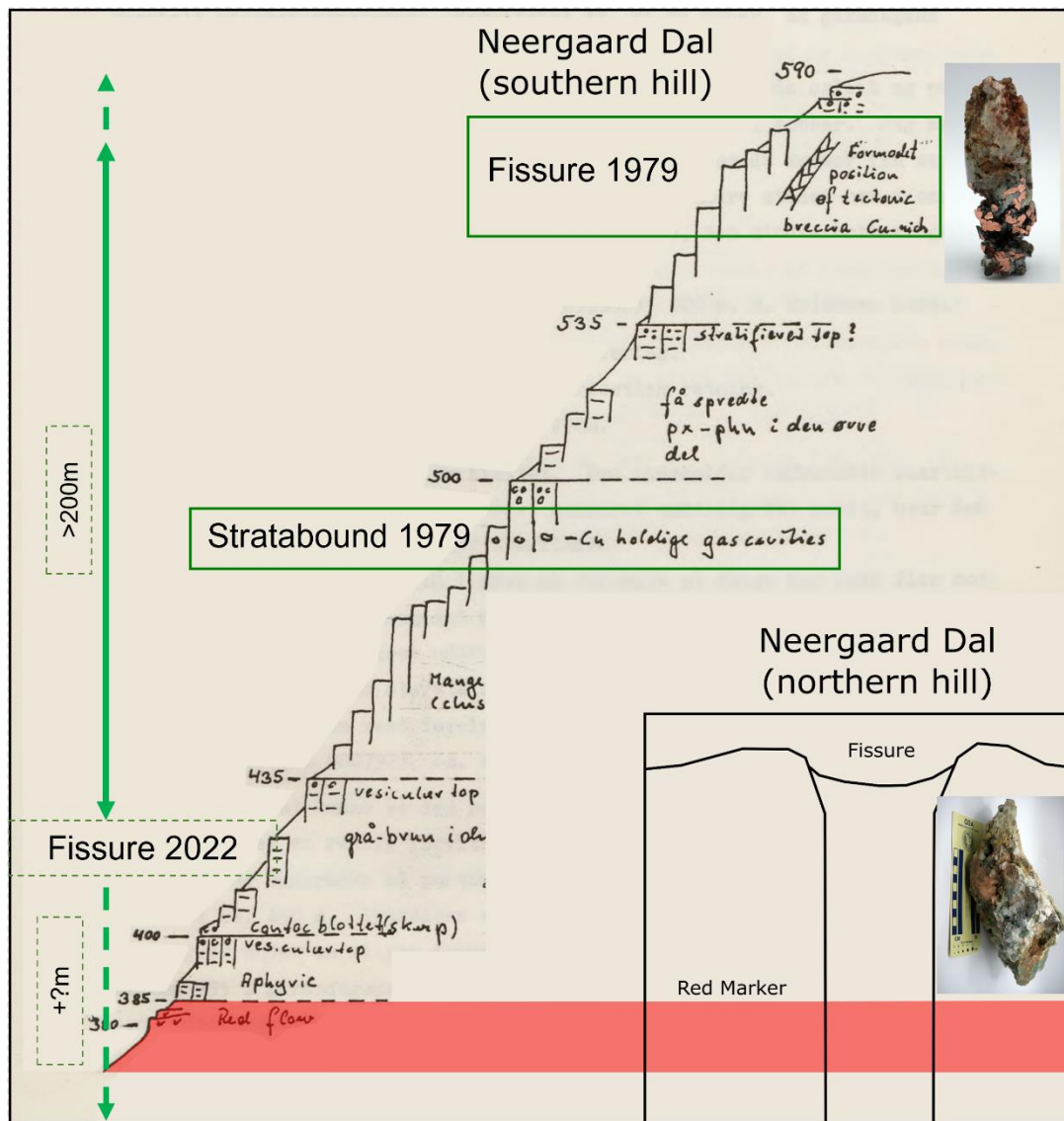
<sup>4</sup> Zasięg biegu żył jest obliczany przez dopasowanie historycznego szkicu do topografii, struktury obserwowanej w terenie i zdjęć satelitarnych. Badacze nie przeprowadzili ekstrapolacji struktury biegu żył poza znane punkty kontrolne pomimo możliwości takiego działania. Prawdopodobne jest występowanie pionowych przedłużeń poniżej dna doliny. Niezbędne w tym kontekście będzie przeprowadzenie dalszych prac weryfikacyjnych w terenie w 2023 r.





Rys. 11: Badana szczelina Neergaard  
Dal i pobliski Red Marker

Uwaga: Red Marker [czerwony znacznik] jest częściowo odsłonięty po lewej stronie tego zdjęcia. Dla uwidocznienia skali w prawym dolnym rogu zdjęcia widoczny jest śmigłowiec AS350. Obiektyw aparatu skierowany jest w kierunku północno-północnozachodnim. Zdjęcie zostało wykonane w lokalizacji  $81^{\circ} 47' 1,4340''$ ,  $-26^{\circ} 39' 47,6700''$ .



Rys. 12: Historyczny szkic mineralizacji miedzi w szczelinie i pęcherzykach gazu.

Uwaga: Szczelina z 2022 r. jest odsłonięta na niewielkim wzniesieniu na północnym zboczu doliny, podczas gdy historyczna szczelina jest naszkicowana na południowym zboczu przylegającym do rozległego płaskowyzu. Red Marker [czerwony znacznik] służy do określania względnych pozycji stratygraficznych (zaznaczonych na czerwono). Nałożone zdjęcia ilustrują przykładowo odpowiednie pozycje stratygraficzne. Szkic pochodzi z „Dziennika letniej pracy terenowej” Hansa P. Jepsena z 1979 r., sygn. raportu: 20883.

Próbki pobrane z nowo zlokalizowanej szczeliny w Neergaard Dal ważyły nie więcej niż około 10 kg. Próbki zostały pobrane z piargu wychodzącego ze szczeliny. Zachodni brzeg piargu zawiera rozległą, w dużym stopniu rozproszoną mineralizację miedzi. Dominującym wizualnie minerałem miedzionośnym jest kupryt<sup>5</sup>, który pokrywa miedź rodzimą. Próbki zebrane przez Spółkę zawierają obficie występujący drobnoziarnisty kupryt w rozmiarze nieprzekraczającym 1 mm oraz sporadycznie ziarna o w przybliżeniu milimetrowej średnicy z niezmienioną miedzią rodzimą w rdzeniu. Z kolei kupryt skojarzył się z aureolami malachitu, dzięki czemu mineralizacja wizualnie wyróżnia się w terenie. Mediana odczytów uzyskana z analizy pXRF zmineralizowanych próbek pobranych z najbardziej zachodnich lokalizacji (A1196b, c) wyniosła **4,78% Cu i 5,0 g/t Ag**; oraz 1,44% Cu i 7,0 g/t Ag.

<sup>5</sup> Kupryt to tlenek miedzi zawierający 88,8% miedzi w ujęciu wagowym. Tę samą powłokę kuprytową zaobserwowano również w historycznych próbkach omówionych w komunikacie ASX Spółki z 11 sierpnia 2022 r., zatytułowanym „Próbki pobrane w ramach Projektu ARC potwierdzają występowanie 99,8% czystej miedzi rodzimej”.



Rys. 13: Próbką A1196 szczelinowej miedzi rodzimej z obszaru Neergaard Dal.

Uwaga: Miejsca jaśniejszej zieleni są zdominowane przez wtórne minerały miedzi po pokryciu miedzi rodzimej przez drobnziarnisty kupryt. Bardziej mętne/jaśniejsze zielone odcienie pochodzą z minerałów niezawierających miedzi, takich jak prehnit lub pumpellyit. Mediana 44 odczytów XRF z całej próbki 1196 wyniosła 6,90% Cu. Próbką została pobrana w przybliżeniu z lokalizacji 81° 47' 7,122", -26° 39' 41,6340".

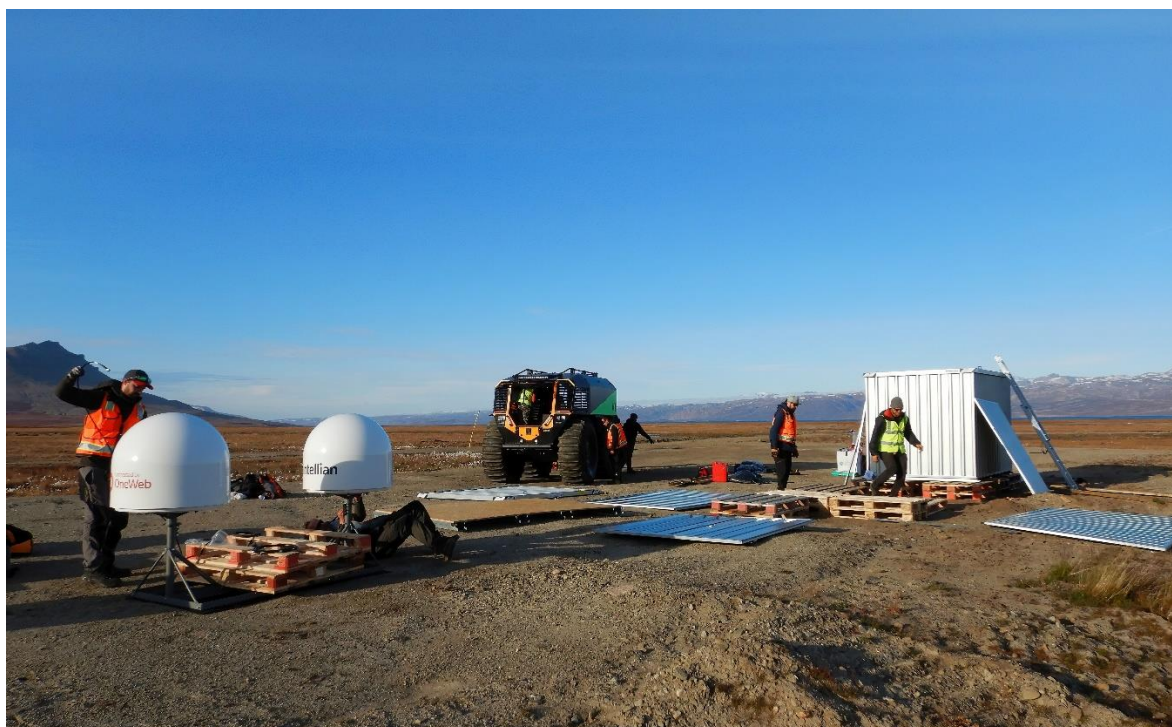


Rys. 14: Zbliżenie próbki A1192 przedstawiające niezmienną miedź rodzimą.

Uwaga: Miedź rodzima to jasny materiał w środkowej części zdjęcia. Kupryt występuje niekiedy na obrzeżu zmienionej miedzi rodzimej. Pole widzenia ma szerokość około 2 cm. Próbką została pobrana z lokalizacji 81° 47' 7,1460", -26° 39' 41,5980".

## LOGISTYKA

Głównym celem wizyty terenowej w 2022 r. było utworzenie bazy logistycznej na Grenlandii. Spółka z powodzeniem utworzyła składy i przetestowała w terenie pojazdy Sherp oraz zaawansowane systemy łączności satelitarnej. Jednak nasilenie działań wojennych w Ukrainie przełożyło się bezpośrednio na najgorsze od 75 lat warunki logistyczne na świecie, które zostały dodatkowo spotęgowane przez najbardziej gęsty lód morski od trzydziestu lat. W związku z powyższym większość zaplanowanych na tegoroczny sezon prac geologicznych w terenie została przełożona na kolejny sezon. Niemniej jednak zrealizowany już transport sprzętu poszukiwawczego na Grenlandię umożliwił szybsze prowadzenie prac w ramach kolejnego programu prac terenowych w Projekcie ARC.



Rys. 15: Testowanie satelitów szerokopasmowych i pojazdów Sherp oraz budowa składu

## INFORMACJE O PROJEKCIE ARCTIC RIFT COPPER

Projekt Arctic Rift Copper (ARC) jest wspólnym przedsięwzięciem eksploracyjnym spółek GreenX i Greenfields. GreenX może objąć 80% udziałów, inwestując łącznie 10 mln AUD do października 2026 r. Projekt ARC ma w zamierzeniu doprowadzić do wydobywania znacznych zasobów miedzi w wielu miejscach na obszarze specjalnej licencji poszukiwawczej o powierzchni 5774 km<sup>2</sup> we wschodniej części północnej Grenlandii. Znajduje się on w nowo zidentyfikowanej i niedostatecznie zbadanej prowincji metalogenicznej Kiffaannngissuseq. Ekspertsi sądzą, że prowincja ta jest pod względem geologicznym analogiczna do Półwyspu Keweenaw w stanie Michigan w USA, który przed rozpoczęciem eksploatacji zawierał zasoby wynoszące ponad +7 mln ton miedzi zawartej w siarczkach i 8,9 mln ton miedzi rodzimej. Podobnie jak w przypadku Półwyspu Keweenaw, o Projekcie ARC wiadomo, że zawiera siarczki miedzi o wysokim stopniu mineralizacji, „szczelinową” miedź i miedź rodzimą zawartą w pęcherzykach gazu oraz warstwach pomiędzy strumieniami lawy.

– KONIEC KOMUNIKATU –

### **Oświadczenie osób kompetentnych**

Informacje zawarte w niniejszym ogłoszeniu, odnoszące się do wyników badań, zostały oparte na informacjach zebranych przez dra Jonathana Bella – osobę kompetentną będącą członkiem Australijskiego Instytutu Geologów (AIG). Dr Bell pełni funkcję dyrektora zarządzającego spółki Greenfields Exploration Limited i posiada pośredni udział w prawach do zapisu na akcje GreenX. Dr Bell posiada wystarczające doświadczenie, odpowiednie do typu mineralizacji i rodzaju badanego złoża oraz podejmowanej działalności, by sklasyfikować go jako osobę kompetentną w rozumieniu definicji zawartej w „Australoazjatyckim kodeksie raportowania wyników prac poszukiwawczych, zasobów mineralnych i złóż rud” (*Australasian Code for Reporting of Exploration Results, Mineral Resources and Ore Reserves*) z 2012 r. Dr Bell wyraża zgodę na umieszczenie w niniejszym ogłoszeniu informacji opartych na wynikach jego prac w formie i kontekście, w jakim się w nim pojawiły.

Niniejsze ogłoszenie zostało zatwierdzone do publikacji przez Bena Stoikovicha pełniącego funkcję dyrektora generalnego (CEO).

**ZAŁĄCZNIK 1: WYNIKI Z PRZENOŚNEGO URZĄDZENIA XRF**

Próbka	Podpróbka	Nr odczytu	Lokalizacja	Lat. Y WGS84	Long. X WGS84	Cu	Ag	Pb	Pd	Sn	As	Hg	Cd	Fe	S	K
						%	ppm	ppm	ppm	ppm	ppm	ppm	ppm	%	ppm	%
A1197	d	235	Discovery Zone	81,95527	-26,20158	56,6	1371	110	<LOD	76	1621	<LOD	<LOD	3,0	85645	0,6
A1199	b	201	Discovery Zone	81,95516	-26,20024	53,8	893	329	<LOD	<LOD	1429	<LOD	<LOD	4,0	70436	1,2
A1199	a	198	Discovery Zone	81,95516	-26,20024	52,0	1769	176	<LOD	80	1174	<LOD	<LOD	3,6	77901	1,1
A1199	d	210	Discovery Zone	81,95516	-26,20024	51,1	709	130	<LOD	41	390	<LOD	<LOD	5,6	75839	1,3
A1199	b	202	Discovery Zone	81,95516	-26,20024	47,8	1074	324	15	73	1213	<LOD	<LOD	5,0	89759	1,2
A1199	d	212	Discovery Zone	81,95516	-26,20024	42,6	1067	200	9	88	768	<LOD	<LOD	6,5	39741	2,6
A1215	a	158	Discovery Zone	81,95586	-26,20112	39,5	<LOD	<LOD	<LOD	79	8	<LOD	<LOD	0,4	17247	0,2
A1199	a	200	Discovery Zone	81,95516	-26,20024	39,4	878	138	8	109	564	<LOD	<LOD	4,0	64967	2,3
A1197	c	231	Discovery Zone	81,95527	-26,20158	37,0	863	42	9	65	533	<LOD	10	2,8	69950	1,3
A1199	d	214	Discovery Zone	81,95516	-26,20024	29,9	342	186	9	52	700	13	<LOD	4,9	37830	1,9
A1215	a	257	Discovery Zone	81,95586	-26,20112	27,7	11	<LOD	<LOD	57	6	20	<LOD	0,4	54221	0,2
A1196	a	57	Neergaard Dal	81,78512	-26,66043	27,7	17	<LOD	<LOD	42	17	11	<LOD	1,7	773	0,3
A1215	a	258	Discovery Zone	81,95586	-26,20112	27,5	<LOD	<LOD	<LOD	39	10	<LOD	<LOD	0,3	57962	0,2
A1199	a	199	Discovery Zone	81,95516	-26,20024	26,5	547	118	10	52	319	<LOD	<LOD	1,7	45657	1,9
A1215	a	256	Discovery Zone	81,95586	-26,20112	26,5	<LOD	<LOD	<LOD	43	6	<LOD	<LOD	0,3	29648	0,3
A1196	b	70	Neergaard Dal	81,78512	-26,66043	26,4	15	<LOD	<LOD	64	8	11	<LOD	2,1	2257	0,6
A1215	a	255	Discovery Zone	81,95586	-26,20112	24,5	<LOD	<LOD	<LOD	27	4	<LOD	<LOD	0,5	35844	0,4
A1215	a	153	Discovery Zone	81,95586	-26,20112	23,4	14	<LOD	<LOD	45	5	<LOD	<LOD	0,4	54563	0,2
A1215	a	254	Discovery Zone	81,95586	-26,20112	22,3	<LOD	<LOD	<LOD	27	5	<LOD	<LOD	0,5	32314	0,3
A1215	a	152	Discovery Zone	81,95586	-26,20112	22,2	18	<LOD	<LOD	39	4	<LOD	<LOD	0,4	58970	0,2
A1195	b	189	Neergaard Dal	81,78532	-26,66077	20,4	10	<LOD	<LOD	58	14	<LOD	<LOD	1,3	507	0,3
A1196	b	72	Neergaard Dal	81,78512	-26,66043	18,7	10	<LOD	<LOD	58	11	<LOD	<LOD	2,3	436	0,5
A1199	b	203	Discovery Zone	81,95516	-26,20024	16,2	405	82	7	37	388	<LOD	<LOD	2,3	38175	2,5
A1196	b	65	Neergaard Dal	81,78512	-26,66043	15,7	6	<LOD	<LOD	51	<LOD	<LOD	<LOD	2,0	655	0,1
A1196	d	76	Neergaard Dal	81,78512	-26,66043	15,2	<LOD	<LOD	<LOD	49	29	<LOD	<LOD	2,3	95	0,1

Próbka	Podpróbka	Nr odczytu	Lokalizacja	Lat. Y WGS84	Long. ' , _X WGS84	Cu %	Ag ppm	Pb ppm	Pd ppm	Sn ppm	As ppm	Hg ppm	Cd ppm	Fe %	S ppm	K %
A1215	a	157	Discovery Zone	81,95586	-26,20112	15,1	8	<LOD	<LOD	31	6	<LOD	<LOD	0,5	26681	0,4
A1199	f	219	Discovery Zone	81,95516	-26,20024	14,6	1364	208	5	38	747	<LOD	<LOD	8,0	29867	1,6
A1196	a	64	Neergaard Dal	81,78512	-26,66043	14,3	<LOD	<LOD	<LOD	18	<LOD	<LOD	<LOD	1,6	<LOD	0,1
A1196	materiał drobnoziarnisty z worka	286	Neergaard Dal	81,78512	-26,66043	14,0	12	<LOD	3	26	11	<LOD	<LOD	2,2	184	0,1
A1199	b	204	Discovery Zone	81,95516	-26,20024	13,9	262	71	5	19	412	<LOD	<LOD	2,1	36211	2,1
A1196	c	75	Neergaard Dal	81,78512	-26,66043	13,5	9	<LOD	<LOD	43	44	<LOD	<LOD	2,2	765	0,2
A1196	b	69	Neergaard Dal	81,78512	-26,66043	13,4	<LOD	<LOD	<LOD	64	12	<LOD	<LOD	2,9	886	0,4
A1198	a	137	Discovery Zone	81,95524	-26,20146	13,3	323	13	<LOD	34	25	<LOD	<LOD	0,7	21815	1,0
A1196	d	78	Neergaard Dal	81,78512	-26,66043	13,2	<LOD	<LOD	<LOD	47	11	<LOD	<LOD	2,5	645	0,1
A1195	b	190	Neergaard Dal	81,78532	-26,66077	11,8	<LOD	<LOD	<LOD	57	31	6	<LOD	2,3	1081	0,4
A1196	a	54	Neergaard Dal	81,78512	-26,66043	11,8	<LOD	<LOD	<LOD	33	<LOD	<LOD	<LOD	2,3	1115	0,1
A1196	a	173	Neergaard Dal	81,78512	-26,66043	11,7	<LOD	<LOD	<LOD	34	4	<LOD	<LOD	2,8	918	0,1
A1198	c	246	Discovery Zone	81,95524	-26,20146	11,2	311	43	<LOD	34	74	<LOD	<LOD	4,9	41940	1,3
A1196	materiał drobnoziarnisty z worka	282	Neergaard Dal	81,78512	-26,66043	10,9	14	<LOD	3	<LOD	8	<LOD	15	2,6	617	0,2
A1196	materiał drobnoziarnisty z worka	283	Neergaard Dal	81,78512	-26,66043	10,9	12	<LOD	<LOD	16	9	<LOD	13	2,2	522	0,2
A1196	materiał drobnoziarnisty z worka	281	Neergaard Dal	81,78512	-26,66043	10,7	12	<LOD	<LOD	13	8	<LOD	<LOD	2,3	386	0,2
A1196	materiał drobnoziarnisty z worka	284	Neergaard Dal	81,78512	-26,66043	10,6	14	<LOD	6	<LOD	7	<LOD	13	2,5	384	0,1
A1196	b	71	Neergaard Dal	81,78512	-26,66043	10,6	5	<LOD	<LOD	45	<LOD	6	<LOD	2,6	<LOD	0,3
A1192	a	91	Neergaard Dal	81,78540	-26,66103	10,5	<LOD	<LOD	<LOD	34	4	<LOD	<LOD	2,3	4935	0,1
A1199	d	213	Discovery Zone	81,95516	-26,20024	10,3	249	75	6	28	140	<LOD	8	3,7	20881	4,1
A1197	fragmenty materiału z worka	267	Discovery Zone	81,95527	-26,20158	10,1	191	15	<LOD	20	70	<LOD	<LOD	2,2	19484	1,6
A1215	a	154	Discovery Zone	81,95586	-26,20112	9,7	11	<LOD	<LOD	13	3	<LOD	<LOD	0,4	13948	0,2
A1198	a	237	Discovery Zone	81,95524	-26,20146	9,6	30	28	<LOD	21	11	<LOD	<LOD	0,3	15002	0,8
A1197	d	233	Discovery Zone	81,95527	-26,20158	9,6	309	55	<LOD	18	252	<LOD	<LOD	2,7	35932	2,3
A1196	a	55	Neergaard Dal	81,78512	-26,66043	9,3	5	<LOD	<LOD	49	3	<LOD	<LOD	1,4	10364	0,2
A1197	fragmenty materiału z worka	278	Discovery Zone	81,95527	-26,20158	9,1	356	66	<LOD	40	212	<LOD	<LOD	1,9	31429	2,2

Próbka		Podpróbka	Nr odczytu	Lokalizacja	Lat. Y WGS84	Long. ' , _X WGS84	Cu %	Ag ppm	Pb ppm	Pd ppm	Sn ppm	As ppm	Hg ppm	Cd ppm	Fe %	S ppm	K %
A1197	fragmety materiału z worka	274	Discovery Zone	81,95527	-26,20158	9,1	349	51	8	39	235	<LOD	<LOD	3,2	28251	2,0	
A1196	materiał drobnoziarnisty z worka	285	Neergaard Dal	81,78512	-26,66043	9,0	12	<LOD	7	<LOD	7	<LOD	14	2,1	425	0,2	
A1197	b	226	Discovery Zone	81,95527	-26,20158	8,9	427	63	5	33	327	<LOD	<LOD	2,0	17594	1,2	
A1196	e	82	Neergaard Dal	81,78512	-26,66043	8,7	6	<LOD	<LOD	49	8	8	<LOD	3,0	535	0,1	
A1197	a	225	Discovery Zone	81,95527	-26,20158	8,5	242	24	<LOD	34	202	<LOD	<LOD	1,7	14413	1,4	
A1200	c	132	Discovery Zone	81,95513	-26,20054	8,4	30	13	<LOD	94	15	<LOD	6	3,2	15140	1,6	
A1196	materiał drobnoziarnisty z worka	280	Neergaard Dal	81,78512	-26,66043	8,0	14	<LOD	3	<LOD	5	<LOD	9	3,2	92	0,1	
A1195	b	193	Neergaard Dal	81,78532	-26,66077	7,7	<LOD	<LOD	<LOD	67	11	<LOD	<LOD	1,9	671	0,2	
A1196	materiał drobnoziarnisty z worka	287	Neergaard Dal	81,78512	-26,66043	7,6	8	<LOD	<LOD	12	6	<LOD	<LOD	2,5	<LOD	0,1	
A1198	a	140	Discovery Zone	81,95524	-26,20146	7,3	487	26	<LOD	29	96	<LOD	<LOD	2,3	15701	3,9	
A1198	b	145	Discovery Zone	81,95524	-26,20146	6,9	151	22	<LOD	17	83	<LOD	<LOD	0,8	15115	1,4	
A1198	a	142	Discovery Zone	81,95524	-26,20146	6,9	602	30	3	36	51	<LOD	<LOD	1,7	16747	3,3	
A1199	c	209	Discovery Zone	81,95516	-26,20024	6,8	63	41	<LOD	26	19	<LOD	<LOD	1,5	18992	2,4	
A1199	materiał drobnoziarnisty z worka	161	Discovery Zone	81,95516	-26,20024	6,8	394	80	<LOD	36	303	<LOD	<LOD	2,8	4907	1,0	
A1197	fragmety materiału z worka	271	Discovery Zone	81,95527	-26,20158	6,7	370	73	<LOD	47	166	<LOD	<LOD	3,8	17839	2,8	
A1199	materiał drobnoziarnisty z worka	300	Discovery Zone	81,95516	-26,20024	6,7	453	85	<LOD	70	252	<LOD	<LOD	3,9	16046	2,3	
A1199	f	220	Discovery Zone	81,95516	-26,20024	6,6	4032	547	10	133	2523	<LOD	<LOD	16,0	20675	1,8	
A1199	materiał drobnoziarnisty z worka	302	Discovery Zone	81,95516	-26,20024	6,6	450	86	<LOD	53	381	6	<LOD	3,7	14654	2,5	
A1199	materiał drobnoziarnisty z worka	307	Discovery Zone	81,95516	-26,20024	6,5	564	99	6	58	469	<LOD	<LOD	4,0	11926	1,9	
A1197	b	228	Discovery Zone	81,95527	-26,20158	6,5	300	44	4	28	178	<LOD	<LOD	3,8	30506	3,2	
A1198	c	244	Discovery Zone	81,95524	-26,20146	6,5	527	201	<LOD	44	884	<LOD	<LOD	7,7	31343	1,5	
A1196	materiał drobnoziarnisty z worka	289	Neergaard Dal	81,78512	-26,66043	6,2	12	<LOD	3	15	4	<LOD	19	2,5	294	0,1	
A1198	b	147	Discovery Zone	81,95524	-26,20146	6,2	39	6	<LOD	37	29	<LOD	<LOD	1,2	13529	2,2	
A1199	materiał drobnoziarnisty z worka	306	Discovery Zone	81,95516	-26,20024	6,2	458	82	<LOD	61	266	<LOD	<LOD	3,1	16142	2,4	
A1196	a	172	Neergaard Dal	81,78512	-26,66043	6,1	6	<LOD	<LOD	42	24	<LOD	<LOD	2,0	6146	0,1	
A1199	materiał drobnoziarnisty z worka	304	Discovery Zone	81,95516	-26,20024	6,1	465	93	<LOD	48	361	<LOD	<LOD	3,7	15924	2,7	



Próbka	Podpróbka	Nr odczytu	Lokalizacja	Lat. Y WGS84	Long. ' , _X WGS84	Cu %	Ag ppm	Pb ppm	Pd ppm	Sn ppm	As ppm	Hg ppm	Cd ppm	Fe %	S ppm	K %
A1197	fragmenty materiału z worka	263	Discovery Zone	81,95527	-26,20158	6,0	93	44	<LOD	35	999	<LOD	<LOD	3,3	9049	4,0
A1198	a	139	Discovery Zone	81,95524	-26,20146	5,9	473	12	<LOD	30	47	<LOD	<LOD	2,0	16066	2,7
A1197	c	232	Discovery Zone	81,95527	-26,20158	5,9	225	10	<LOD	37	67	<LOD	<LOD	1,7	40735	1,2
A1196	materiał drobnoziarnisty z worka	288	Neergaard Dal	81,78512	-26,66043	5,6	10	<LOD	6	19	4	<LOD	<LOD	2,4	<LOD	0,1
A1199	materiał drobnoziarnisty z worka	305	Discovery Zone	81,95516	-26,20024	5,5	445	70	<LOD	43	252	<LOD	<LOD	2,9	13941	2,6
A1199	materiał drobnoziarnisty z worka	309	Discovery Zone	81,95516	-26,20024	5,5	421	71	<LOD	45	226	<LOD	<LOD	2,9	13615	2,3
A1198	b	241	Discovery Zone	81,95524	-26,20146	5,5	253	20	<LOD	15	45	<LOD	<LOD	0,7	15414	1,4
A1198	a	138	Discovery Zone	81,95524	-26,20146	5,5	93	5	<LOD	21	12	<LOD	<LOD	1,2	14625	1,0
A1197	fragmenty materiału z worka	260	Discovery Zone	81,95527	-26,20158	5,4	64	4	<LOD	15	7	<LOD	<LOD	4,1	12619	0,5
A1198	a	141	Discovery Zone	81,95524	-26,20146	5,3	434	50	<LOD	37	78	<LOD	<LOD	2,1	14616	3,3
A1199	materiał drobnoziarnisty z worka	303	Discovery Zone	81,95516	-26,20024	5,1	308	60	<LOD	41	217	<LOD	<LOD	2,9	9482	1,8
A1199	materiał drobnoziarnisty z worka	163	Discovery Zone	81,95516	-26,20024	4,9	341	71	<LOD	26	286	<LOD	<LOD	4,0	11192	2,6
A1197	fragmenty materiału z worka	276	Discovery Zone	81,95527	-26,20158	4,9	347	19	<LOD	29	44	<LOD	<LOD	1,2	17476	1,1
A1198	d	248	Discovery Zone	81,95524	-26,20146	4,9	30	19	<LOD	20	29	<LOD	<LOD	2,0	16755	2,3
A1197	materiał drobnoziarnisty z worka	296	Discovery Zone	81,95527	-26,20158	4,8	142	39	<LOD	38	443	<LOD	<LOD	3,3	7003	3,3
A1195	b	192	Neergaard Dal	81,78532	-26,66077	4,8	<LOD	<LOD	<LOD	37	<LOD	<LOD	<LOD	1,3	4949	0,2
A1194	a	106	Neergaard Dal	81,78535	-26,66126	4,6	7	<LOD	<LOD	48	<LOD	14	<LOD	4,8	2248	0,1
A1196	d	80	Neergaard Dal	81,78512	-26,66043	4,6	<LOD	<LOD	<LOD	39	2	<LOD	<LOD	2,7	1210	0,1
A1196	b	68	Neergaard Dal	81,78512	-26,66043	4,6	<LOD	5	<LOD	53	7	<LOD	<LOD	3,3	<LOD	0,1
A1199	materiał drobnoziarnisty z worka	160	Discovery Zone	81,95516	-26,20024	4,5	267	91	<LOD	26	348	<LOD	<LOD	3,2	4014	0,8
A1196	c	74	Neergaard Dal	81,78512	-26,66043	4,5	4	<LOD	<LOD	44	<LOD	<LOD	<LOD	3,9	845	0,1
A1198	b	146	Discovery Zone	81,95524	-26,20146	4,5	115	<LOD	<LOD	24	14	<LOD	<LOD	1,9	12980	1,2
A1198	b	243	Discovery Zone	81,95524	-26,20146	4,5	18	5	<LOD	17	9	<LOD	<LOD	0,3	12310	0,7
A1197	materiał drobnoziarnisty z worka	297	Discovery Zone	81,95527	-26,20158	4,5	181	41	<LOD	42	479	<LOD	<LOD	2,9	8982	3,5
A1197	a	224	Discovery Zone	81,95527	-26,20158	4,5	34	48	<LOD	26	120	<LOD	<LOD	2,0	12469	2,2
A1200	a	129	Discovery Zone	81,95513	-26,20054	4,4	39	18	<LOD	32	184	<LOD	<LOD	5,5	17149	3,1

Próbka	Podpróbka	Nr odczytu	Lokalizacja	Lat. Y WGS84	Long. ' , _X WGS84	Cu %	Ag ppm	Pb ppm	Pd ppm	Sn ppm	As ppm	Hg ppm	Cd ppm	Fe %	S ppm	K %
A1197	materiał drobnoziarnisty z worka	292	Discovery Zone	81,95527	-26,20158	4,4	124	42	<LOD	<LOD	401	<LOD	8	3,3	8146	4,0
A1197	materiał drobnoziarnisty z worka	298	Discovery Zone	81,95527	-26,20158	4,3	152	31	<LOD	34	355	<LOD	<LOD	3,4	8536	3,8
A1197	materiał drobnoziarnisty z worka	295	Discovery Zone	81,95527	-26,20158	4,3	158	38	<LOD	36	450	<LOD	<LOD	3,2	7437	3,2
A1198	d	247	Discovery Zone	81,95524	-26,20146	4,2	16	32	<LOD	32	18	<LOD	<LOD	1,9	13393	1,5
A1197	fragmenty materiału z worka	269	Discovery Zone	81,95527	-26,20158	4,1	35	28	<LOD	24	30	<LOD	<LOD	0,8	26499	1,3
A1199	materiał drobnoziarnisty z worka	301	Discovery Zone	81,95516	-26,20024	4,1	342	68	3	53	155	<LOD	<LOD	3,1	13671	3,4
A1198	d	249	Discovery Zone	81,95524	-26,20146	4,1	71	28	<LOD	30	112	<LOD	<LOD	2,7	16299	3,6
A1199	materiał drobnoziarnisty z worka	162	Discovery Zone	81,95516	-26,20024	4,1	251	34	4	46	84	<LOD	<LOD	2,4	12873	1,9
A1197	materiał drobnoziarnisty z worka	291	Discovery Zone	81,95527	-26,20158	4,0	141	40	<LOD	48	360	<LOD	<LOD	2,9	9026	3,7
A1197	fragmenty materiału z worka	265	Discovery Zone	81,95527	-26,20158	4,0	255	24	<LOD	58	325	<LOD	<LOD	2,8	8042	3,7
A1197	materiał drobnoziarnisty z worka	293	Discovery Zone	81,95527	-26,20158	4,0	128	30	<LOD	26	396	<LOD	<LOD	3,1	7736	3,6
A1196	a	63	Neergaard Dal	81,78512	-26,66043	4,0	8	<LOD	<LOD	<LOD	<LOD	<LOD	<LOD	2,6	<LOD	0,0
A1197	fragmenty materiału z worka	266	Discovery Zone	81,95527	-26,20158	3,6	96	30	<LOD	28	404	<LOD	<LOD	3,5	8644	4,1
A1197	materiał drobnoziarnisty z worka	290	Discovery Zone	81,95527	-26,20158	3,6	116	31	<LOD	27	309	<LOD	<LOD	2,9	6734	3,2
A1197	b	229	Discovery Zone	81,95527	-26,20158	3,6	243	16	<LOD	37	144	<LOD	<LOD	2,3	16940	1,3
A1199	materiał drobnoziarnisty z worka	164	Discovery Zone	81,95516	-26,20024	3,6	340	96	5	33	193	<LOD	<LOD	4,0	14344	2,9
A1195	c	194	Neergaard Dal	81,78532	-26,66077	3,5	7	5	<LOD	34	19	<LOD	<LOD	3,8	338	0,5
A1197	materiał drobnoziarnisty z worka	299	Discovery Zone	81,95527	-26,20158	3,5	138	36	<LOD	51	390	6	<LOD	2,7	6819	3,7
A1197	materiał drobnoziarnisty z worka	294	Discovery Zone	81,95527	-26,20158	3,4	125	31	<LOD	42	318	<LOD	<LOD	2,6	8384	3,3
A1196	d	79	Neergaard Dal	81,78512	-26,66043	3,4	4	5	<LOD	40	3	4	<LOD	3,0	131	0,1
A1196	a	175	Neergaard Dal	81,78512	-26,66043	3,4	6	<LOD	<LOD	35	3	<LOD	<LOD	1,9	670	0,1
A1197	fragmenty materiału z worka	277	Discovery Zone	81,95527	-26,20158	3,3	32	9	<LOD	18	40	<LOD	<LOD	0,9	14096	1,2
A1200	c	133	Discovery Zone	81,95513	-26,20054	3,3	53	19	<LOD	24	51	<LOD	<LOD	4,7	30081	3,6
A1198	b	242	Discovery Zone	81,95524	-26,20146	3,3	89	7	<LOD	10	26	<LOD	<LOD	0,5	9687	0,9
A1193	b	100	Neergaard Dal	81,78541	-26,66100	3,3	4	<LOD	<LOD	55	<LOD	<LOD	<LOD	3,8	5401	0,0
A1199	c	208	Discovery Zone	81,95516	-26,20024	3,3	29	23	<LOD	16	11	<LOD	<LOD	1,2	15240	1,9

Próbka	Podpróbka	Nr odczytu	Lokalizacja	Lat. Y WGS84	Long. ' , _X WGS84	Cu %	Ag ppm	Pb ppm	Pd ppm	Sn ppm	As ppm	Hg ppm	Cd ppm	Fe %	S ppm	K %
A1196	a	52	Neergaard Dal	81,78512	-26,66043	3,1	<LOD	<LOD	<LOD	32	5	<LOD	<LOD	2,7	1442	0,1
A1199	materiał drobnoziarnisty z worka	308	Discovery Zone	81,95516	-26,20024	3,1	349	67	4	29	212	<LOD	<LOD	2,7	11949	3,0
A1195	a	181	Neergaard Dal	81,78532	-26,66077	3,0	<LOD	5	<LOD	44	<LOD	<LOD	<LOD	4,9	378	0,2
A1194	c	118	Neergaard Dal	81,78535	-26,66126	3,0	<LOD	<LOD	<LOD	42	<LOD	<LOD	<LOD	3,9	748	0,1
A1197	fragmety materiału z worka	272	Discovery Zone	81,95527	-26,20158	2,8	44	34	<LOD	26	49	<LOD	<LOD	2,2	14243	3,0
A1197	materiał drobnoziarnisty z worka	165	Discovery Zone	81,95527	-26,20158	2,8	122	17	<LOD	29	153	<LOD	<LOD	2,0	4382	1,3
A1195	b	191	Neergaard Dal	81,78532	-26,66077	2,7	<LOD	6	<LOD	53	<LOD	6	<LOD	4,2	285	0,2
A1192	a	84	Neergaard Dal	81,78540	-26,66103	2,6	<LOD	<LOD	<LOD	21	<LOD	<LOD	<LOD	0,5	345	0,1
A1196	a	61	Neergaard Dal	81,78512	-26,66043	2,4	<LOD	<LOD	<LOD	56	<LOD	<LOD	<LOD	2,5	<LOD	0,2
A1196	b	67	Neergaard Dal	81,78512	-26,66043	2,3	<LOD	<LOD	<LOD	42	<LOD	<LOD	<LOD	2,8	383	0,1
A1197	fragmety materiału z worka	273	Discovery Zone	81,95527	-26,20158	2,2	145	12	<LOD	32	96	<LOD	<LOD	2,1	12243	2,7
A1197	a	222	Discovery Zone	81,95527	-26,20158	2,0	121	34	<LOD	32	379	<LOD	<LOD	3,8	12421	5,6
A1200	c	134	Discovery Zone	81,95513	-26,20054	2,0	98	23	<LOD	21	17	<LOD	<LOD	3,5	8171	2,3
A1197	fragmety materiału z worka	261	Discovery Zone	81,95527	-26,20158	1,9	54	15	<LOD	26	121	<LOD	<LOD	1,6	9983	2,5
A1196	c	73	Neergaard Dal	81,78512	-26,66043	1,9	<LOD	<LOD	<LOD	36	<LOD	<LOD	<LOD	3,3	175	0,2
A1192	a	92	Neergaard Dal	81,78540	-26,66103	1,9	<LOD	6	<LOD	41	<LOD	5	<LOD	4,7	241	0,1
A1197	fragmety materiału z worka	270	Discovery Zone	81,95527	-26,20158	1,8	51	10	<LOD	26	71	<LOD	<LOD	2,3	13100	1,7
A1200	d	135	Discovery Zone	81,95513	-26,20054	1,8	43	30	<LOD	39	242	<LOD	<LOD	4,9	13455	4,0
A1195	c	195	Neergaard Dal	81,78532	-26,66077	1,8	<LOD	3	<LOD	26	<LOD	<LOD	<LOD	3,0	493	0,6
A1197	fragmety materiału z worka	262	Discovery Zone	81,95527	-26,20158	1,8	59	13	<LOD	21	41	<LOD	<LOD	0,6	8743	0,5
A1193	b	102	Neergaard Dal	81,78541	-26,66100	1,8	4	3	<LOD	41	<LOD	<LOD	<LOD	4,0	309	0,1
A1196	a	62	Neergaard Dal	81,78512	-26,66043	1,7	<LOD	4	<LOD	47	<LOD	<LOD	<LOD	4,0	459	0,5
A1199	d	211	Discovery Zone	81,95516	-26,20024	1,7	500	76	6	18	238	<LOD	<LOD	5,8	11004	4,8
A1197	fragmety materiału z worka	275	Discovery Zone	81,95527	-26,20158	1,7	35	<LOD	<LOD	12	21	<LOD	<LOD	0,7	14421	1,1
A1197	fragmety materiału z worka	259	Discovery Zone	81,95527	-26,20158	1,7	22	14	<LOD	19	52	<LOD	<LOD	1,6	10135	3,0
A1198	a	238	Discovery Zone	81,95524	-26,20146	1,7	18	<LOD	<LOD	24	27	<LOD	<LOD	0,5	11296	1,5

Próbka	Podpróbka	Nr odczytu	Lokalizacja	Lat. Y WGS84	Long. ' _X WGS84	Cu %	Ag ppm	Pb ppm	Pd ppm	Sn ppm	As ppm	Hg ppm	Cd ppm	Fe %	S ppm	K %
A1198	a	236	Discovery Zone	81,95524	-26,20146	1,5	54	<LOD	<LOD	23	8	<LOD	<LOD	0,3	3162	0,5
A1198	c	245	Discovery Zone	81,95524	-26,20146	1,4	111	26	<LOD	13	37	<LOD	<LOD	3,9	11558	1,8
A1200	d	136	Discovery Zone	81,95513	-26,20054	1,4	65	36	<LOD	45	248	<LOD	<LOD	4,2	11660	4,2
A1198	b	149	Discovery Zone	81,95524	-26,20146	1,3	60	28	<LOD	14	16	<LOD	<LOD	0,5	3854	1,3
A1198	a	143	Discovery Zone	81,95524	-26,20146	1,3	95	5	<LOD	18	20	<LOD	<LOD	0,4	7991	1,2
A1199	c	207	Discovery Zone	81,95516	-26,20024	1,3	21	19	<LOD	20	13	<LOD	<LOD	1,4	16009	2,9
A1196	a	53	Neergaard Dal	81,78512	-26,66043	1,3	<LOD	<LOD	<LOD	33	<LOD	<LOD	<LOD	2,0	8814	0,2
A1197	fragmenty materiału z worka	268	Discovery Zone	81,95527	-26,20158	1,3	27	<LOD	<LOD	18	15	<LOD	<LOD	0,8	13616	1,3
A1197	fragmenty materiału z worka	264	Discovery Zone	81,95527	-26,20158	1,3	23	12	<LOD	17	122	<LOD	<LOD	1,4	7736	4,1
A1192	a	85	Neergaard Dal	81,78540	-26,66103	1,2	<LOD	<LOD	<LOD	<LOD	<LOD	<LOD	<LOD	1,7	<LOD	0,1
A1200	a	128	Discovery Zone	81,95513	-26,20054	1,2	29	10	<LOD	25	72	<LOD	<LOD	4,4	10670	2,8
A1198	b	148	Discovery Zone	81,95524	-26,20146	1,2	84	<LOD	<LOD	20	10	<LOD	<LOD	0,9	4711	1,5
A1199	e	218	Discovery Zone	81,95516	-26,20024	1,1	42	21	<LOD	15	18	<LOD	<LOD	1,5	6681	3,8
A1199	e	215	Discovery Zone	81,95516	-26,20024	1,1	26	15	<LOD	17	15	<LOD	<LOD	1,2	13821	3,5
A1196	a	59	Neergaard Dal	81,78512	-26,66043	1,1	4	4	<LOD	20	<LOD	<LOD	<LOD	1,8	135	0,3
A1195	c	197	Neergaard Dal	81,78532	-26,66077	1,1	<LOD	<LOD	<LOD	30	28	<LOD	<LOD	0,7	<LOD	0,0
A1215	a	251	Discovery Zone	81,95586	-26,20112	1,0	51	<LOD	<LOD	16	11	<LOD	<LOD	0,5	3436	0,3
A1192	a	178	Neergaard Dal	81,78540	-26,66103	1,0	<LOD	<LOD	<LOD	37	3	<LOD	<LOD	2,6	467	0,1
A1196	materiał drobnoziarnisty z worka	166	Neergaard Dal	81,78512	-26,66043	0,9	5	<LOD	<LOD	40	3	<LOD	<LOD	0,8	1911	0,6
A1197	a	223	Discovery Zone	81,95527	-26,20158	0,9	139	24	<LOD	33	360	<LOD	<LOD	3,2	4300	5,3
A1200	a	127	Discovery Zone	81,95513	-26,20054	0,9	21	7	<LOD	18	38	<LOD	<LOD	2,9	7707	3,5
A1215	a	155	Discovery Zone	81,95586	-26,20112	0,9	31	<LOD	<LOD	9	6	<LOD	<LOD	0,4	2352	0,3
A1198	a	240	Discovery Zone	81,95524	-26,20146	0,9	81	6	<LOD	16	18	<LOD	<LOD	0,3	4497	1,1
A1199	e	217	Discovery Zone	81,95516	-26,20024	0,9	44	13	<LOD	15	23	<LOD	<LOD	1,2	9321	4,0
A1192	a	90	Neergaard Dal	81,78540	-26,66103	0,9	<LOD	<LOD	<LOD	22	<LOD	<LOD	<LOD	0,2	184	0,1
A1196	b	66	Neergaard Dal	81,78512	-26,66043	0,8	<LOD	<LOD	<LOD	47	<LOD	<LOD	<LOD	0,9	4958	0,1

Próbka	Podpróbka	Nr odczytu	Lokalizacja	Lat. Y WGS84	Long. ' , _X WGS84	Metale ciężkie											Fe		S		K	
						Cu %	Ag ppm	Pb ppm	Pd ppm	Sn ppm	As ppm	Hg ppm	Cd ppm	Fe %	S ppm	K %						
A1200	a	126	Discovery Zone	81,95513	-26,20054	0,8	26	9	<LOD	30	89	<LOD	<LOD	3,4	9387	2,6						
A1192	a	89	Neergaard Dal	81,78540	-26,66103	0,8	<LOD	<LOD	<LOD	25	2	<LOD	<LOD	2,4	1526	0,1						
A1198	a	144	Discovery Zone	81,95524	-26,20146	0,8	39	4	<LOD	11	8	<LOD	<LOD	0,5	6113	1,1						
A1199	c	125	Discovery Zone	81,95516	-26,20024	0,8	20	38	<LOD	20	7	<LOD	<LOD	1,7	9335	4,3						
A1196	a	56	Neergaard Dal	81,78512	-26,66043	0,8	<LOD	<LOD	<LOD	14	<LOD	<LOD	<LOD	0,2	531	0,1						
A1199	e	216	Discovery Zone	81,95516	-26,20024	0,7	34	11	<LOD	18	22	<LOD	<LOD	1,2	7482	4,0						
A1199	c	206	Discovery Zone	81,95516	-26,20024	0,7	18	46	<LOD	11	12	<LOD	<LOD	1,4	8598	4,4						
A1196	e	81	Neergaard Dal	81,78512	-26,66043	0,7	6	<LOD	<LOD	48	<LOD	<LOD	<LOD	3,5	175	0,2						
A1194	a	107	Neergaard Dal	81,78535	-26,66126	0,6	<LOD	<LOD	<LOD	50	<LOD	<LOD	<LOD	5,0	130	0,1						
A1196	a	174	Neergaard Dal	81,78512	-26,66043	0,6	3	<LOD	<LOD	<LOD	<LOD	<LOD	<LOD	0,5	842	0,1						
A1197	d	234	Discovery Zone	81,95527	-26,20158	0,6	99	19	4	23	63	<LOD	4	2,4	8411	1,6						
A1192	a	83	Neergaard Dal	81,78540	-26,66103	0,5	<LOD	<LOD	<LOD	18	2	<LOD	<LOD	1,7	413	0,2						
A1196	a	58	Neergaard Dal	81,78512	-26,66043	0,5	<LOD	<LOD	<LOD	27	<LOD	<LOD	<LOD	2,3	<LOD	0,1						
A1197	b	227	Discovery Zone	81,95527	-26,20158	0,5	105	8	<LOD	23	24	<LOD	<LOD	1,6	3683	1,8						
A1192	a	87	Neergaard Dal	81,78540	-26,66103	0,5	<LOD	<LOD	<LOD	<LOD	<LOD	<LOD	<LOD	1,2	<LOD	0,0						
A1215	a	253	Discovery Zone	81,95586	-26,20112	0,4	9	<LOD	<LOD	9	2	<LOD	<LOD	0,2	3195	0,3						
A1215	a	156	Discovery Zone	81,95586	-26,20112	0,4	<LOD	<LOD	<LOD	18	<LOD	<LOD	<LOD	0,4	3391	1,0						
A1200	b	130	Discovery Zone	81,95513	-26,20054	0,3	3	6	<LOD	22	44	<LOD	<LOD	3,4	5121	4,2						
A1196	a	60	Neergaard Dal	81,78512	-26,66043	0,3	<LOD	<LOD	<LOD	24	<LOD	<LOD	<LOD	1,6	466	0,1						
A1195	a	180	Neergaard Dal	81,78532	-26,66077	0,3	<LOD	<LOD	<LOD	32	<LOD	<LOD	<LOD	2,7	626	0,2						
A1192	a	86	Neergaard Dal	81,78540	-26,66103	0,3	<LOD	<LOD	<LOD	<LOD	<LOD	<LOD	<LOD	0,3	404	0,1						
A1195	b	188	Neergaard Dal	81,78532	-26,66077	0,3	<LOD	<LOD	<LOD	38	<LOD	<LOD	<LOD	3,3	1172	0,4						
A1195	a	183	Neergaard Dal	81,78532	-26,66077	0,3	5	<LOD	<LOD	32	<LOD	<LOD	<LOD	3,7	328	0,1						
A1215	a	250	Discovery Zone	81,95586	-26,20112	0,3	8	<LOD	<LOD	9	2	<LOD	<LOD	0,2	1374	0,3						
A1192	a	176	Neergaard Dal	81,78540	-26,66103	0,2	<LOD	<LOD	<LOD	24	<LOD	<LOD	<LOD	1,0	675	0,3						
A1193	a	93	Neergaard Dal	81,78541	-26,66100	0,2	<LOD	4	<LOD	32	<LOD	5	<LOD	4,2	538	0,2						

Próbka	Podpróbka	Nr odczytu	Lokalizacja	Lat. Y WGS84	Long. ' _X WGS84	Cu %	Ag ppm	Pb ppm	Pd ppm	Sn ppm	As ppm	Hg ppm	Cd ppm	Fe %	S ppm	K %
A1200	b	131	Discovery Zone	81,95513	-26,20054	0,2	5	6	<LOD	18	26	<LOD	<LOD	2,0	1474	5,0
A1195	a	185	Neergaard Dal	81,78532	-26,66077	0,2	<LOD	<LOD	<LOD	<LOD	4	<LOD	<LOD	3,1	896	0,3
A1192	a	177	Neergaard Dal	81,78540	-26,66103	0,2	<LOD	<LOD	<LOD	13	<LOD	<LOD	<LOD	0,7	1583	0,5
A1195	b	187	Neergaard Dal	81,78532	-26,66077	0,2	<LOD	<LOD	<LOD	55	<LOD	<LOD	<LOD	0,2	3553	0,1
A1193	a	96	Neergaard Dal	81,78541	-26,66100	0,1	<LOD	<LOD	<LOD	31	<LOD	<LOD	<LOD	5,3	309	0,2
A1215	a	252	Discovery Zone	81,95586	-26,20112	0,1	<LOD	<LOD	<LOD	15	<LOD	<LOD	<LOD	0,1	1997	0,3
A1195	a	184	Neergaard Dal	81,78532	-26,66077	0,1	<LOD	<LOD	<LOD	36	2	<LOD	<LOD	3,7	402	0,1
A1195	a	179	Neergaard Dal	81,78532	-26,66077	0,1	6	<LOD	<LOD	21	<LOD	<LOD	<LOD	4,1	569	0,3
A1193	b	101	Neergaard Dal	81,78541	-26,66100	0,1	5	<LOD	<LOD	25	<LOD	<LOD	<LOD	4,2	96	0,1
A1215	a	151	Discovery Zone	81,95586	-26,20112	0,1	<LOD	<LOD	<LOD	15	<LOD	<LOD	<LOD	0,1	1000	0,3
A1195	a	186	Neergaard Dal	81,78532	-26,66077	0,1	4	9	<LOD	36	<LOD	<LOD	<LOD	9,6	1249	0,2
A1193	c	103	Neergaard Dal	81,78541	-26,66100	0,1	5	6	<LOD	50	<LOD	6	<LOD	8,6	774	0,5
A1195	a	182	Neergaard Dal	81,78532	-26,66077	0,1	<LOD	<LOD	<LOD	41	<LOD	4	<LOD	4,7	227	0,1
A1195	c	196	Neergaard Dal	81,78532	-26,66077	0,1	<LOD	<LOD	<LOD	33	5	10	<LOD	4,5	1198	0,2
A1194	c	117	Neergaard Dal	81,78535	-26,66126	0,0	<LOD	<LOD	<LOD	35	2	<LOD	<LOD	5,6	167	0,1
A1193	a	98	Neergaard Dal	81,78541	-26,66100	0,0	<LOD	<LOD	<LOD	55	<LOD	<LOD	<LOD	7,3	1006	0,4
A1194	b	115	Neergaard Dal	81,78535	-26,66126	0,0	<LOD	6	<LOD	34	<LOD	<LOD	<LOD	8,4	342	0,1
A1193	a	94	Neergaard Dal	81,78541	-26,66100	0,0	<LOD	6	<LOD	39	<LOD	<LOD	<LOD	3,0	804	0,3
A1193	a	95	Neergaard Dal	81,78541	-26,66100	0,0	<LOD	<LOD	<LOD	20	<LOD	<LOD	<LOD	4,4	321	0,1
A1191	c	121	Neergaard Dal	81,78530	-26,66067	0,0	<LOD	10	<LOD	49	<LOD	<LOD	<LOD	9,1	2010	0,3
A1193	c	104	Neergaard Dal	81,78541	-26,66100	0,0	<LOD	4	<LOD	55	<LOD	<LOD	<LOD	4,7	206	0,2
A1194	a	105	Neergaard Dal	81,78535	-26,66126	0,0	5	3	<LOD	32	<LOD	<LOD	<LOD	5,2	141	0,0
A1191	a	119	Neergaard Dal	81,78530	-26,66067	0,0	<LOD	6	<LOD	16	<LOD	<LOD	<LOD	6,7	937	0,0
A1191	b	120	Neergaard Dal	81,78530	-26,66067	0,0	<LOD	<LOD	<LOD	42	<LOD	<LOD	<LOD	3,0	1800	0,2
A1193	b	99	Neergaard Dal	81,78541	-26,66100	0,0	4	7	<LOD	46	<LOD	<LOD	<LOD	9,9	490	0,1
A1193	a	97	Neergaard Dal	81,78541	-26,66100	0,0	<LOD	8	<LOD	29	<LOD	5	<LOD	7,3	342	0,1

Próbka	Podpróbka	Nr odczytu	Lokalizacja	Lat. Y WGS84	Long. ' _X WGS84	Cu %	Ag ppm	Pb ppm	Pd ppm	Sn ppm	As ppm	Hg ppm	Cd ppm	Fe %	S ppm	K %
A1191	d	122	Neergaard Dal	81,78530	-26,66067	0,0	<LOD	13	<LOD	35	<LOD	<LOD	<LOD	10,5	680	0,5
A1194	b	116	Neergaard Dal	81,78535	-26,66126	0,0	3	<LOD	<LOD	41	3	8	<LOD	5,0	263	0,1
A1192	a	88	Neergaard Dal	81,78540	-26,66103	0,0	4	11	<LOD	31	<LOD	<LOD	<LOD	11,9	218	0,1
A1191	e	123	Neergaard Dal	81,78530	-26,66067	0,0	<LOD	<LOD	<LOD	46	<LOD	<LOD	<LOD	7,0	1574	0,5
A1191	f	124	Neergaard Dal	81,78530	-26,66067	0,0	<LOD	<LOD	<LOD	39	<LOD	<LOD	<LOD	5,8	<LOD	0,0

*Uwaga: Wartości powyżej 1% Cu i 200 g/t Ag zostały zaznaczone na zielono. Dokonany został przegląd całości pozostałych pierwiastków oraz przeprowadzona została analiza korelacji z elementami obiecującymi z ekonomicznego punktu widzenia. Pierwiastki, w odniesieniu do których korelacja nie została stwierdzona i które przyjmują wartości tła, zostały pominięte w tabeli w celu ułatwienia czytelnikowi zapoznania się z danymi.*

## JORC Tabela 1, sekcja 2: Raport dotyczący wyników prac poszukiwawczych

Kryteria	Projekt Arctic Rift Copper																																						
Stan prawny w zakresie prawa własności do użytkowania surowców mineralnych i gruntów	<p>W ramach projektu Arctic Rift Copper („ARC”) obowiązuje jedno specjalne zezwolenie na poszukiwanie („MEL-S” 2021-07). Obszar objęty wnioskiem wynosi 5774 km<sup>2</sup>, którego granicę wyznaczają poniższe punkty:</p> <table border="0"> <tr><td>82°3'N, 29°18'W</td><td>81°35'N, 26°8'W</td></tr> <tr><td>82°3'N, 25°41'W</td><td>81°30'N, 26°8'W</td></tr> <tr><td>82°0'N, 25°41'W</td><td>81°30'N, 26°54'W</td></tr> <tr><td>82°0'N, 25°43'W</td><td>81°25'N, 26°54'W</td></tr> <tr><td>81°59'N, 25°43'W</td><td>81°25'N, 28°20'W</td></tr> <tr><td>81°59'N, 25°44'W</td><td>81°21'N, 28°20'W</td></tr> <tr><td>81°58'N, 25°44'W</td><td>81°21'N, 29°35'W</td></tr> <tr><td>81°58'N, 25°46'W</td><td>81°19'N, 29°35'W</td></tr> <tr><td>81°56'N, 25°46'W</td><td>81°19'N, 31°0'W</td></tr> <tr><td>81°56'N, 25°48'W</td><td>81°27'N, 31°0'W</td></tr> <tr><td>81°55'N, 25°48'W</td><td>81°27'N, 31°42'W</td></tr> <tr><td>81°55'N, 25°50'W</td><td>81°34'N, 31°42'W</td></tr> <tr><td>81°53'N, 25°50'W</td><td>81°34'N, 32°7'W</td></tr> <tr><td>81°53'N, 25°52'W</td><td>81°51'N, 32°7'W</td></tr> <tr><td>81°50'N, 25°52'W</td><td>81°51'N, 31°0'W</td></tr> <tr><td>81°50'N, 25°54'W</td><td>81°54'N, 31°0'W</td></tr> <tr><td>81°46'N, 25°54'W</td><td>81°54'N, 30°18'W</td></tr> <tr><td>81°46'N, 25°55'W</td><td>81°58'N, 30°18'W</td></tr> <tr><td>81°35'N, 25°55'W</td><td>81°58'N, 29°18'W</td></tr> </table>	82°3'N, 29°18'W	81°35'N, 26°8'W	82°3'N, 25°41'W	81°30'N, 26°8'W	82°0'N, 25°41'W	81°30'N, 26°54'W	82°0'N, 25°43'W	81°25'N, 26°54'W	81°59'N, 25°43'W	81°25'N, 28°20'W	81°59'N, 25°44'W	81°21'N, 28°20'W	81°58'N, 25°44'W	81°21'N, 29°35'W	81°58'N, 25°46'W	81°19'N, 29°35'W	81°56'N, 25°46'W	81°19'N, 31°0'W	81°56'N, 25°48'W	81°27'N, 31°0'W	81°55'N, 25°48'W	81°27'N, 31°42'W	81°55'N, 25°50'W	81°34'N, 31°42'W	81°53'N, 25°50'W	81°34'N, 32°7'W	81°53'N, 25°52'W	81°51'N, 32°7'W	81°50'N, 25°52'W	81°51'N, 31°0'W	81°50'N, 25°54'W	81°54'N, 31°0'W	81°46'N, 25°54'W	81°54'N, 30°18'W	81°46'N, 25°55'W	81°58'N, 30°18'W	81°35'N, 25°55'W	81°58'N, 29°18'W
82°3'N, 29°18'W	81°35'N, 26°8'W																																						
82°3'N, 25°41'W	81°30'N, 26°8'W																																						
82°0'N, 25°41'W	81°30'N, 26°54'W																																						
82°0'N, 25°43'W	81°25'N, 26°54'W																																						
81°59'N, 25°43'W	81°25'N, 28°20'W																																						
81°59'N, 25°44'W	81°21'N, 28°20'W																																						
81°58'N, 25°44'W	81°21'N, 29°35'W																																						
81°58'N, 25°46'W	81°19'N, 29°35'W																																						
81°56'N, 25°46'W	81°19'N, 31°0'W																																						
81°56'N, 25°48'W	81°27'N, 31°0'W																																						
81°55'N, 25°48'W	81°27'N, 31°42'W																																						
81°55'N, 25°50'W	81°34'N, 31°42'W																																						
81°53'N, 25°50'W	81°34'N, 32°7'W																																						
81°53'N, 25°52'W	81°51'N, 32°7'W																																						
81°50'N, 25°52'W	81°51'N, 31°0'W																																						
81°50'N, 25°54'W	81°54'N, 31°0'W																																						
81°46'N, 25°54'W	81°54'N, 30°18'W																																						
81°46'N, 25°55'W	81°58'N, 30°18'W																																						
81°35'N, 25°55'W	81°58'N, 29°18'W																																						
	<p>Zezwolenie MEL-S daje wyłączne prawo do poszukiwania minerałów przez trzy lata po obniżonych kosztach utrzymania, pod warunkiem że każde z nich obejmuje obszar o powierzchni przekraczającej 1000 km<sup>2</sup>. Po trzech latach posiadacz specjalnego zezwolenia poszukiwawczego ma prawo do przekształcenia charakteru danego obszaru, w całości lub w części, w ramach konwencjonalnych zezwoleń poszukiwawczych. Ze względu na pandemię koronawirusa, wszystkie wymogi licencyjne na Grenlandii zostały zawieszono do końca 2021 r., dzięki czemu MEL-S można przekształcić w zwykłe zezwolenie pod koniec 2024 r.</p>																																						
	<p>Minimalny wymóg dotyczący wydatków w przypadku MEL-S wynosi 500 koron duńskich na jeden km<sup>2</sup>; wartość ta podlega indeksacji według duńskiego CPI ze stycznia 1992 r. Spółka szacuje, że wymagane wydatki w wariantcie podstawowym będą opiewać na kwotę około 1 080 000 dolarów australijskich rocznie. Rząd uchylił jednak wszystkie zobowiązania dotyczące wydatków za lata 2020 i 2021, w związku z czym żadne koszty posiadania zezwolenia nie skrytalizują się do 31 grudnia 2022 r. Zobowiązania na rok 2022 zostaną obliczone 1 stycznia 2023 r. na podstawie powierzchni objętej zezwoleniem w dniu poprzednim. Z powodu pandemii koronawirusa budżet kosztów na 2022 r. został zmniejszony o 50%. Licencja jest obecnie kredytowana w związku z wydatkami poniesionymi w 2021 r. Wydatki przekraczające minimalny wymóg ustawy są przenoszone na okres maksymalnie trzech lat. Projekt ARC jest w dobrej kondycji, a Spółka posiada obecnie 51% licencji.</p>																																						
	<p>Nie obowiązują żadne należności licencyjne od stron trzecich ani inne prawa związane z ARC.</p>																																						
Prace poszukiwawcze prowadzone przez inne podmioty	<p>Pierwsze komercyjne prace poszukiwawcze na terenie Grenlandii Północnej przeprowadzono w latach 1969 i 1972, podczas których zidentyfikowano miedź rodzimą i siarczki miedzi we wschodniej części Grenlandii Północnej. Dopiero w latach 1979 i 1980 przeprowadzono bardziej merytoryczne prace; tym razem były one prowadzone przez agendę rządową.</p> <p>Projekt ARC był przedmiotem komercyjnych prac poszukiwawczych prowadzonych przez Avannaa Resources Limited („Avannaa”) w latach 2010 i 2011. W pierwszym roku Avannaa skupiła swoje prace na niewielkim obszarze w północnej części obszaru koncesyjnego, znanym jako Neergaard North. Prace te koncentrowały się na historycznych pracach agencji rządowej i ośrodków naukowych, które zidentyfikowały wysoce nieprawidłowe mineralizacje miedzi. W 2010 r. prace obejmowały geochemiczne pobieranie próbek gleby, odłupywanie skał oraz wykopywanie wysokogatunkowego materiału związanego z brekcjami uskokowymi o trendzie NW-SE. Bazując na powodzeniu programu z 2010 r., Avannaa przystąpiła w 2011 r. do realizacji znacznie większego regionalnego programu wstępnych poszukiwań. Program ten obejmował wspierany z helikoptera program próbkowania geochemicznego na dużym obszarze, mający na celu sprawdzenie perspektywiczności wydobycia miedzi w różnych pozycjach stratygraficznych, a także rozszerzenie obszaru „Discovery Zone” zidentyfikowanego w 2010 r. Obydwa aspekty tego programu zakończyły się powodzeniem, gdyż dowiedziono, że obszar Discovery Zone charakteryzuje się minimalną długością uskoku wynoszącą 2 km, zanim zniknie pod powierzchnią ziemi. Niektóre poziomy stratygraficzne wykazują nieprawidłowe mineralizacje miedzi w znacznym zakresie poprzecznym. Jednak większość prac Avannaa była zlokalizowana na południowy wschód od Projektu ARC i obecnie znajduje się w strefie zakazu prowadzenia prac poszukiwawczych.</p>																																						
Geologia	<p>Projekt ARC obejmuje sekwencję mezoproterozoicznych osadów zdominowanych przez piaskowce, należących do basenu Independence Fjord, które uległy intruzji silnie zmienionych dolerytów oraz pokryciu przez 1,2 km mezoproterozoiczne bazalty powodziowe (bazalty „Zig-Zag Fm”). Bazalty zostały pokryte 1,1 km neoproterozoicznych (sprzed 1000 mln do 541 mln lat) osadów klastycznych i</p>																																						



węglanowych należących do grupy Hagen Fjord. W dolnej części grupy Hagen Fjord dominują piaskowce i mułowce, a w jej górnej części wapień i dolomity. Na podstawie próbek osadów pochodzących ze strumienia, minerały tlenku żelaza przechodziły od magnetytu na wschód od Projektu ARC do hematytu w jego obrębie, co odzwierciedla zmianę stanu utlenienia płynu (od zredukowanego do utlenionego). Przepływ płynu odbywa się ze wschodu na zachód, co sugeruje, że utlenianie stanowi składnik opadania miedzi z roztworu. Utlenianie zredukowanego płynu jest zgodne z chemizmem wymaganym do utworzenia miedzi rodzimej, takiej jak ta, którą zaobserwowano w Projekcie ARC. Stopień metamorfizmu bazaltów Zig-Zag Fm należy do facji zeolitowej, a osady grupy Hagen Fjord wykazują niższy stopień metamorfizmu. Poza erozją mechaniczną zachowały się one w odpowiednim stopniu.

Interesująca pod względem komercyjnym mineralizacja miedzi występuje w bazaltach i osadach grupy Hagen Fjord. Wiadomo, że bazalty zawierają miedź rodzimą in situ, a miedź rodzima występuje szeroko w okolicznych systemach odwadniających. Co istotne, okazy miedzi rodzimej pozyskane przez agendę rządową w 1979 i 1994 roku oraz przez firmę Avannaa w 2010 roku osiągają wagę do 1 kg. Tego typu duże okazy miedzi rodzimej pochodzą prawdopodobnie z próżni pogazowych (pustych przestrzeni gazowych) w bazalcie, chociaż miedź rodzima występująca w uskockach jest również znana z występowania w obrębie ARC. W opinii Greenfields, wiek, otoczenie i skład mineralny sprawiają, że miedź z Zig-Zag Fm jest analogiczna do złóż miedzi na Półwyspie Michigan Upper (Keweenaw) i stanowi podstawowe źródło miedzi dla anomalii odnotowanych w leżących nad nim osadach. Szczeliny uskockowe przecinające bazalty i osady neoproterozoiczne są interpretowane przez Greenfields jako trasy przepływu płynów, ponieważ w otaczających je skałach osadowych z dominacją kwarcu występują strefy intensywnej alternacji potasu. Tego typu brekcje charakteryzują się szerokością do 25 m i wykazują mineralizację miedzioną. Minerale miedzionośne w postaci chalkozynu, bornitu i chalkopirytu są istotne, ponieważ dowodzą, że do systemu wcześniej nienasyconego siarką została dodana siarka. Źródło siarki jest uważane za ważny czynnik w „modelu złoża miedzi w osadach”. Podano również inne ważne składniki modelu złoża, w tym pseudomorfizowany gips (źródło siarki, oraz soli wymuszających ruchliwość miedzi), uszczelnienia hydrogeologiczne, oraz kontrastujące stany utlenienia. Siarczki miedzi występują w przewidywanych geologicznych układach litologicznych. Najwyższe klasy miedzi znajdują się w pobliżu geofizycznych anomalii grawitacyjnych, magnetycznych i elektromagnetycznych. Obszar ok. 640 km<sup>2</sup> anomalii geofizycznych i geochemicznych nosi nazwę Minik Singularity.

Wiek znanej mineralizacji obejmuje co najmniej dwa etapy. Greenfields wskazuje na orogenezę elzewirską (ok. 1250 mln lat temu) jako prawdopodobne wydarzenie związane z mineralizacją miedzi rodzimej w bazaltach. Jednakże siarczki miedzi w osadach z okresu neoproterozoicznego wskazują na istnienie drugiego zdarzenia mineralizacyjnego związanego z wygasającą orogenezą kaledońską (ok. 390-380 mln lat temu). Orogenezy elzewirska i kaledońska charakteryzują się podobną orientacją. Wiek maksymalny oszacowany na ok. 385 mln lat temu jest poparty brakiem mineralizacji znanej z okresu młodszego niż sylurski (443,8 mln lat temu do 419,2 mln lat temu). Okres syluru związany jest z powstaniem złoża cynku Citronen, na które obecnie licencję posiada Ironbark Zinc Ltd. Greenfields uważa, że siarczki miedzi Citronen i ARC powstały w wyniku tego samego zdarzenia. Znana miedź i cynk, w połączeniu z interpretowaną przez Greenfields historią geologiczną, geochronologią i temperaturami płynów hydrotermalnych, wyznaczają obszar metalogeniczny Kiffaannngissuseq o powierzchni +60 000 km<sup>2</sup>.

Dwa zdarzenia hydrotermalne, które według interpretacji Greenfields utworzyły obszar metalogeniczny Kiffaannngissuseq, są zdecydowanie odmienne. Greenfields uważa, że płyny pochodzące z epoki elzewirskiej były chemicznie zredukowane, ale wzbogacone w cer. Cer ten mógł wywołać anoksydacyjne utlenianie miedzionośnych minerałów tytanomagnetytowych. Interpretacja taka jest zgodna z obserwacjami w Astrup Anomaly, gdzie skały osadowe pod mafikiem wydają się być chemicznie zredukowane (kolor szary), podczas gdy powyżej mafiku zostają utlenione. Sugeruje to, że zredukowane elzewirskie płyny hydrotermalne, które pochodziły z głębszych warstw podziemnych i zawierały cer dość energicznie wchodziły w interakcję ze skałami maficznymi, aby wytworzyć intensywne zabarwienie tlenkiem żelaza ponad nimi. Dla porównania, młodsze kaledońskie płyny hydrotermalne mogły być utlenione, ponieważ w obrębie Discovery Zone istnieją dowody na to, że płyny zostały zredukowane przez piryty, co spowodowało wytrącenie siarczków miedzi.

Interaktywny portal rządowy obejmujący geologię i raporty uzupełniające został udostępniony pod adresem: <http://www.greenmin.gl/home.seam>. Raport z oceny technicznej ARC, zawierający pełne odniesienia, jest dostępny pod adresem <http://dx.doi.org/10.13140/RC.2.2.18610.84161>.

*Informacje o otworze wiertniczym  
Metody łączenia danych*

W obrębie Projektu ARC i w jego sąsiedztwie nigdy nie prowadzono odwiertów.

*Zależność pomiędzy szerokością  
mineralizacji a długością przecięć.*

Dokonano agregacji danych. Dla wszystkich próbek pobrano wiele odczytów pXRF i zagregowano je przy użyciu median, by zmniejszyć niedokładność związaną z małym polem widzenia pXRF.

Analiza pXRF została przeprowadzona na materiale z odkrywki mineralizacji. Mineralizacja w Neergaard Dal i Discovery Zone występuje w stromo zapadających uskockach (widocznych na powierzchni). Nie zostały wykonane żadne transekty. Przedstawione wyniki opierają się na punktowym pobraniu próbek materiału in situ (Discovery Zone) i sąsiedniego piargu (Neergaard Dal). Wszystkie zebrane próbki ważyły ponad 1 kg, a masa niektórych wynosiła prawie 10 kg.



<i>Schematy</i>	Wszystkie odnośne mapy zostały przedstawione w głównym komunikacie, a dodatkowe tabele i rysunki zamieszczono w „Raporcie z oceny technicznej”.
<i>Sprawozdawczość zrównoważona</i>	Spółka pozyskała i rzetelnie przedstawiła wszystkie wyniki. Przedstawiono je w formie statystycznej i graficznej, tak aby czytelnik mógł je wykorzystać do dokonania wyważonej oceny interesujących z ekonomicznego punktu widzenia wyników. Czytelnik winien mieć świadomość, że wyniki pXRF mają charakter orientacyjny i nie zastępują bardziej wiarygodnych metod, takich jak analiza chemiczna. Ponadto, ze względu na potencjalną stronniczość próbkowania, szczególnie korzystne odczyty spomiędzy transektów nie zostały uwzględnione w statystykach przedstawionych w treści niniejszego komunikatu.
<i>Inne istotne dane dotyczące poszukiwań</i>	Od czasu udzielenia przez Greenfields zezwolenia na prowadzenie prac w obrębie Projektu ARC, wszystkie istotne informacje dotyczące prac poszukiwawczych są publikowane w komunikatach prasowych GreenX.
<i>Pozostałe prace</i>	Wyniki pXRF mają jedynie charakter orientacyjny i służą do weryfikacji ewidencji historycznej. Zalecane przyszłe prace obejmują ustalenie rozmieszczenia rozsianej miedzi rodzimej w dużych próbkach, rodzajów minerałów w glinach i materiale drobnoziarnistym z Discovery Zone oraz całkowitej zawartości miedzi na podstawie analizy chemicznej materiału drobnoziarnistego z Discovery Zone.

**JORC Tabela 1, sekcja 1:**

<b>Kryteria</b>	<b>Projekt Arctic Rift Copper</b>
<i>Techniki tworzenia próbek</i>	Próbki zostały pobrane z sąsiadujących zboczy piargów w Neergaard Dal (ich pochodzenie jest w wysokim stopniu pewne) oraz z mineralizacji in situ w Discovery Zone. Pobieranie próbek odbywało się ręcznie oraz przy użyciu młotka geologicznego. Preferowane było zbieranie próbek o dużej objętości w celu zmaksymalizowania reprezentatywności.
<i>Techniki wiertnicze</i>	W obrębie Projektu ARC nigdy nie prowadzono odwiertów.
<i>Pozyskiwanie próbek z odwiertów</i>	W obrębie Projektu ARC nigdy nie prowadzono odwiertów, w związku z czym dane dotyczące pobranych w ten sposób materiałów nie istnieją.
<i>Wyrąb lasów</i>	W obrębie Projektu ARC nigdy nie prowadzono odwiertów, w związku z czym nie istnieją żadne zapisy dotyczące pozyskiwania drewna.
<i>Techniki pobierania próbek cząstkowych i przygotowanie próbek</i>	Worki z próbkami zostały sprawdzone i posortowane na podstawie ich frakcji wymiarowej, litologii lub stanu zmian. Każda z podpróbek została poddana wielokrotnej analizie pXRF. Podejście to zostało wprowadzone w celu zapewnienia zrozumienia rozkładu stopnia mineralizacji w różnych frakcjach wielkości i rodzajach skał. Spółka uważa to za rozwiązanie wyjściowe za niezbędny krok przed przyszłym pobieraniem próbek i analizą chemiczną.
<i>Jakość danych z oznaczeń i badań laboratoryjnych</i>	Wykorzystane zostało wypożyczone przenośne urządzenie XRF Thermo Scientific Niton. Producent urządzenia cieszy się wysoką renomą, jakość urządzenia uznawana jest za dobrą, podmiot wypożyczający jest również renomowany. Niemniej jednak, mimo iż odczyty pXRF są dokładne, charakteryzują się jedynie małym polem widzenia, co może obniżyć ich wiarygodność w przypadku niejednorodnej mineralizacji. Technologia XRF wymaga również zachowania niewielkiej szczeliny powietrznej pomiędzy czujnikiem a próbką, co w warunkach terenowych jest trudne do osiągnięcia w sposób konsekwentny. W związku z powyższym odczyty te należy traktować raczej jako orientacyjne niż bezwzględne.
<i>Weryfikacja procesu pobierania próbek i oznaczania</i>	Wzorce referencyjne zostały przywiezione na teren Projektu ARC i użyte do kalibracji urządzenia pXRF. Nie stwierdzono istotnych odchyień w zakresie precyzji lub niezawodności urządzenia. Niższe granice wykrywalności dla wszystkich pierwiastków są znacznie poniżej wartości wymaganych do śledzenia stref uskokowych i ich mineralizacji. Mimo iż historyczne wyniki testów z tego obszaru nie są bezpośrednio porównywalne z nowymi odczytami pXRF, okazały się być z nimi zgodne.
<i>Lokalizacja punktów danych</i>	Szczegóły lokalizacji i kontrola topograficzna opierają się na informacjach publicznie ujawnianych przez władze. Siatki powstały w oparciu o strefy UTM 26 i 27N przy użyciu WGS84 Datum.
<i>Rozmieszczenie i dystrybucja danych</i>	Próbki pobierane były z miejsc stosunkowo łatwo dostępnych o nieregularnych odległościach między sobą. Próbki zostały celowo pobrane z obszarów, które na miejscu wyglądały na niezmineralizowane, częściowo zmineralizowane i mocno zmineralizowane.
<i>Orientacja danych w stosunku do struktury geologicznej</i>	Strefy uskokowe (w tym szczeliny) przeważają na znacznej części obserwowanej mineralizacji odsłoniętej na powierzchni. Pobieranie próbek odbywało się w obrębie tych uskoków, a w przypadku Discovery Zone – w obrębie biegu żył.
<i>Zabezpieczenie próbek</i>	Wszystkie przedstawione odczyty pochodzą z lokalizacji in situ z zarejestrowanymi lokalizacjami GPS. Pozyskiwanie i zestawianie danych było wykonywane lub nadzorowane przez geologów. Wyniki zostały przesłane przez pracowników Greenfields i były przechowywane w bezpiecznym miejscu zarówno w formie nieobrobionej, jak i obrobionej. Pracownicy Greenfields sprawowali pełną kontrolę nad próbkami do momentu ich przekazania renomowanej niezależnej firmie kurierskiej. Żadne inne osoby trzecie



*Audyty lub przeglądy*

nie były zaangażowane w działania związane z próbkami. Do Greenfields nie trafiły żadne informacje o ewentualnych problemach dotyczących bezpieczeństwa próbek.

Nie zostały przeprowadzone żadne audyty ani przeglądy odczytów pXRF. Ponieważ Spółka nie opiera się na tych danych w kategoriach bezwzględnych oraz dysponuje wynikami historycznych testów laboratoryjnych na potrzeby porównań krzyżowych, kierownictwo Spółki nie uważa, by audyt był konieczny.